

08h45 – 09h00 : Accueil des participants

09h00 – 09h30 : Concept des pressions de remplissage du ventricule gauche

09h30 – 10h30 : Le Ventricule Droit

10h30 – 11h00 : Pause

11h00 – 12h00 : Ateliers pratiques

12h00 – 13h00 : Pause repas

13h00 – 14h00 : Détresse respiratoire

14h00 – 15h00 : Etat de choc

15h00 – 16h00 : Ateliers pratiques

16h00 – 17h00 : Quizz interactif



Echographie cardiaque et hémodynamique avancée

Ventricule Droit



GE HealthCare

Dr Thibaut MARKARIAN

Médecin Urgentiste

AP-HM Hôpital La Timone Adultes

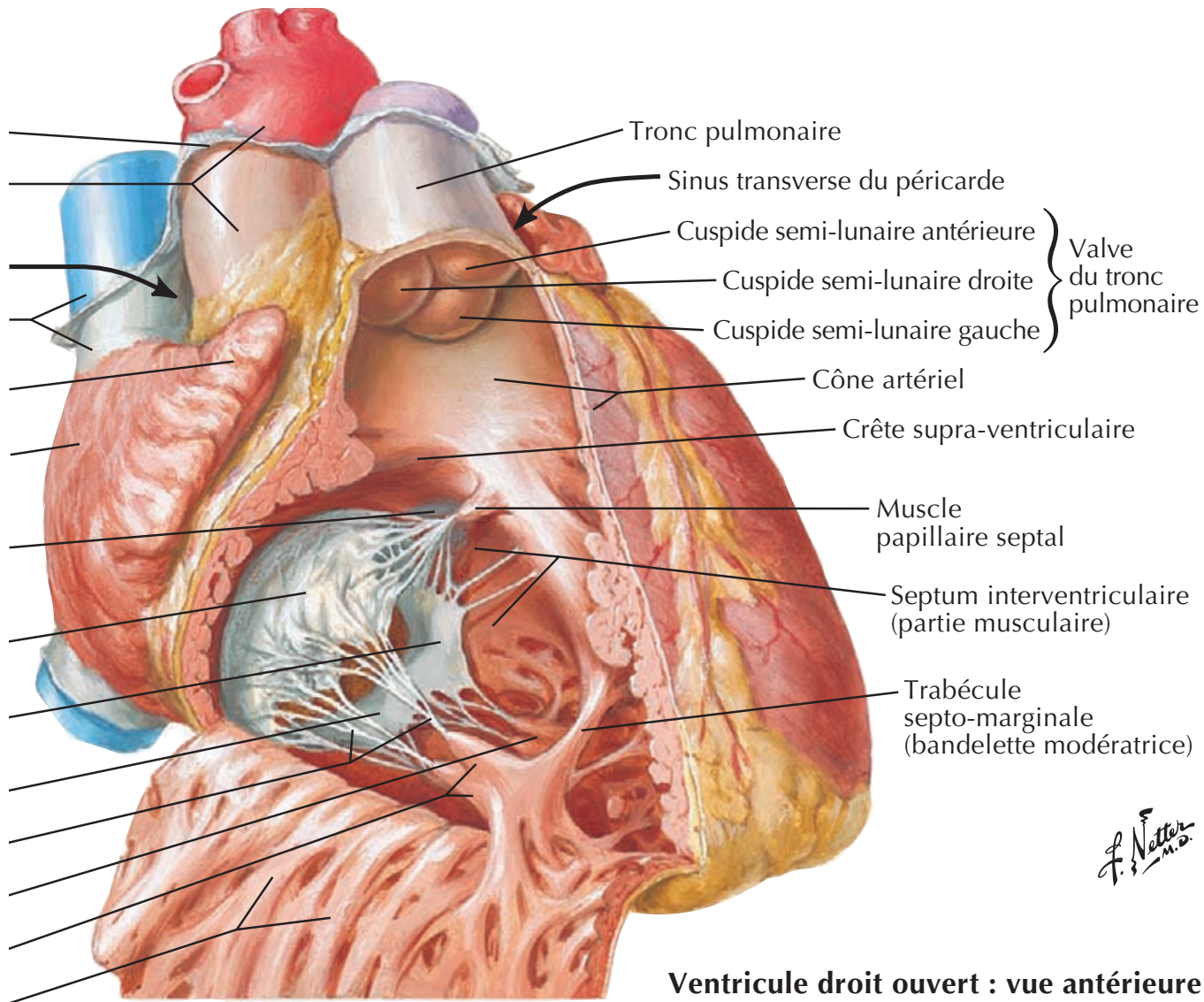
Marseille

Hôpitaux
Universitaires
de Marseille | **ap.**
hm



Faculté des sciences
médicales et paramédicales
Aix Marseille Université

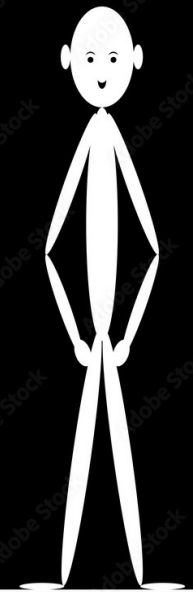
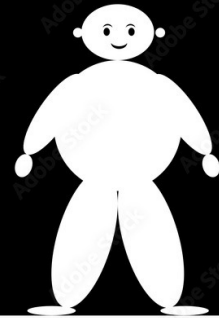
Anatomie cardiaque



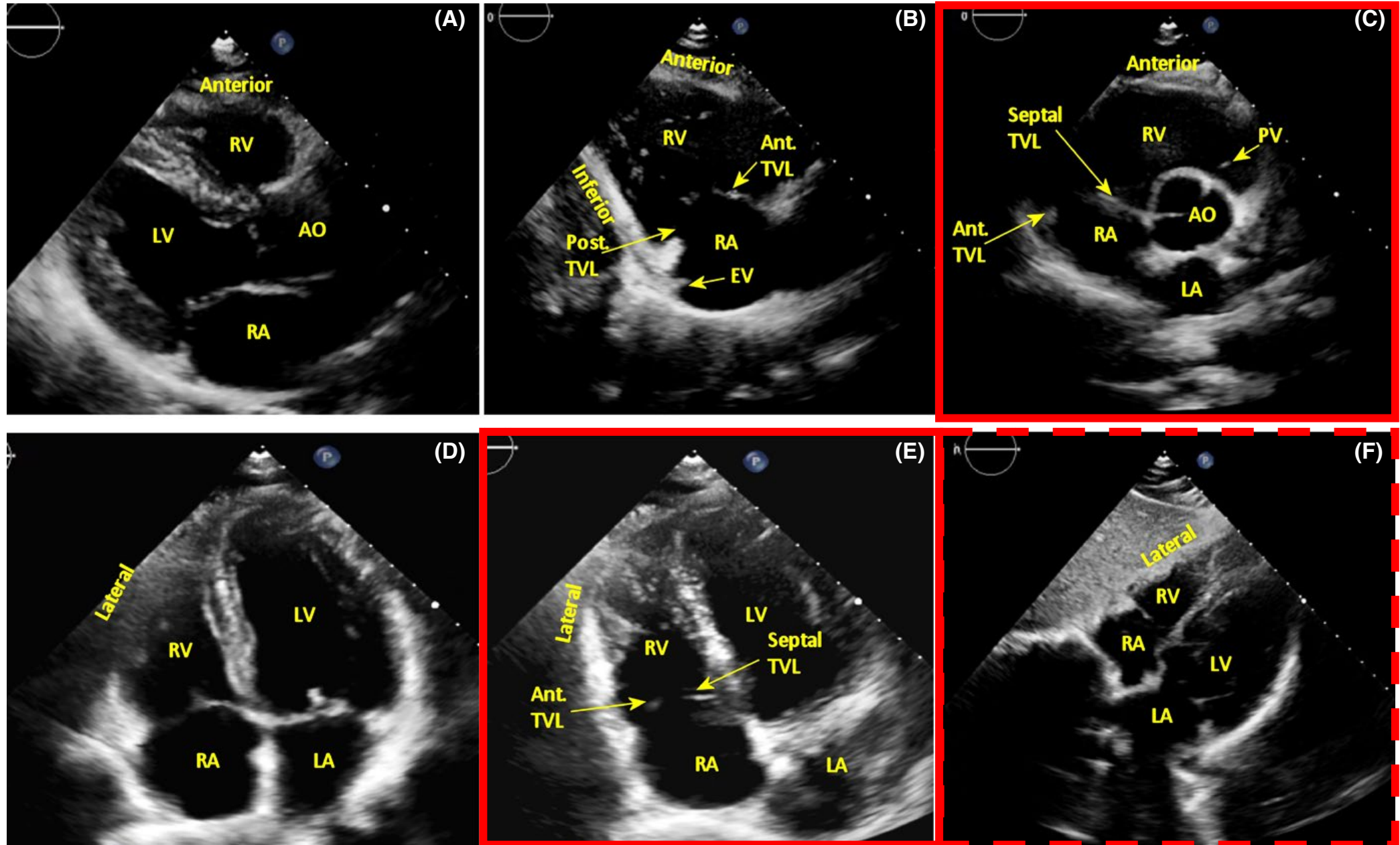
Ventricule Droit

- pyramide tronquée
- enroulée en croissant autour du VG
- 2 chambres fonctionnelles
 - corps = **chambre d'admission**
 - infundibulum = **chambre de chasse**

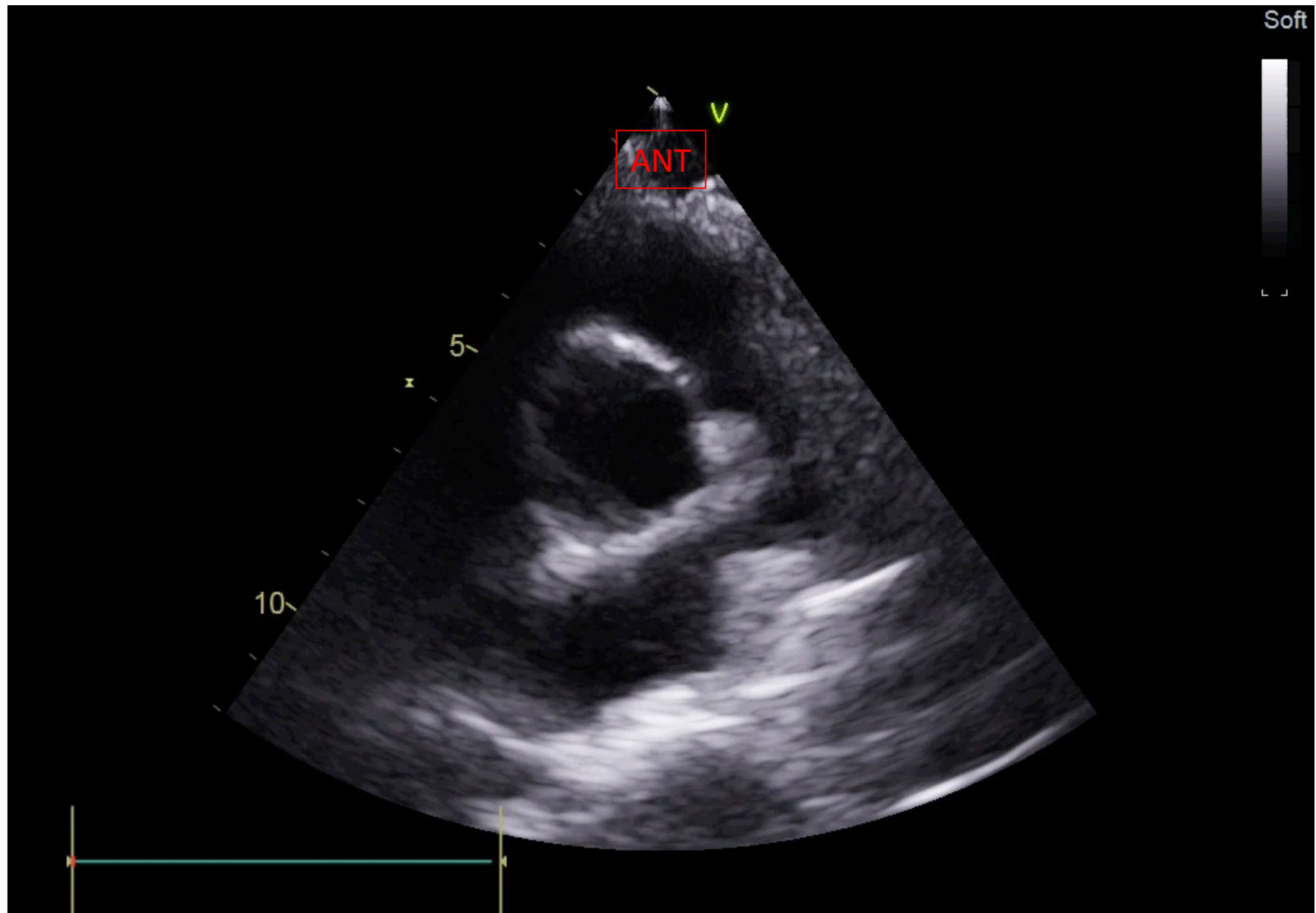
Physiopathologie

	VENTRICULE DROIT	VENTRICULE GAUCHE	
	VTDVD : $75 \pm 13 \text{ mL/m}^2$	VTDVG : $66 \pm 12 \text{ mL/m}^2$	
	Paroi mince : 2 – 5 mm	Paroi épaisse : 7 – 11 mm	
	Fraction éjection : > 45%	Fraction éjection > 55%	
	Système à basse pression	Système à haute pression	
	PAP moyenne = 10 à 18 mmHg	P° Aorte moy = 90 à 100 mmHg	
	Post charge sensible	Post charge tolérante	

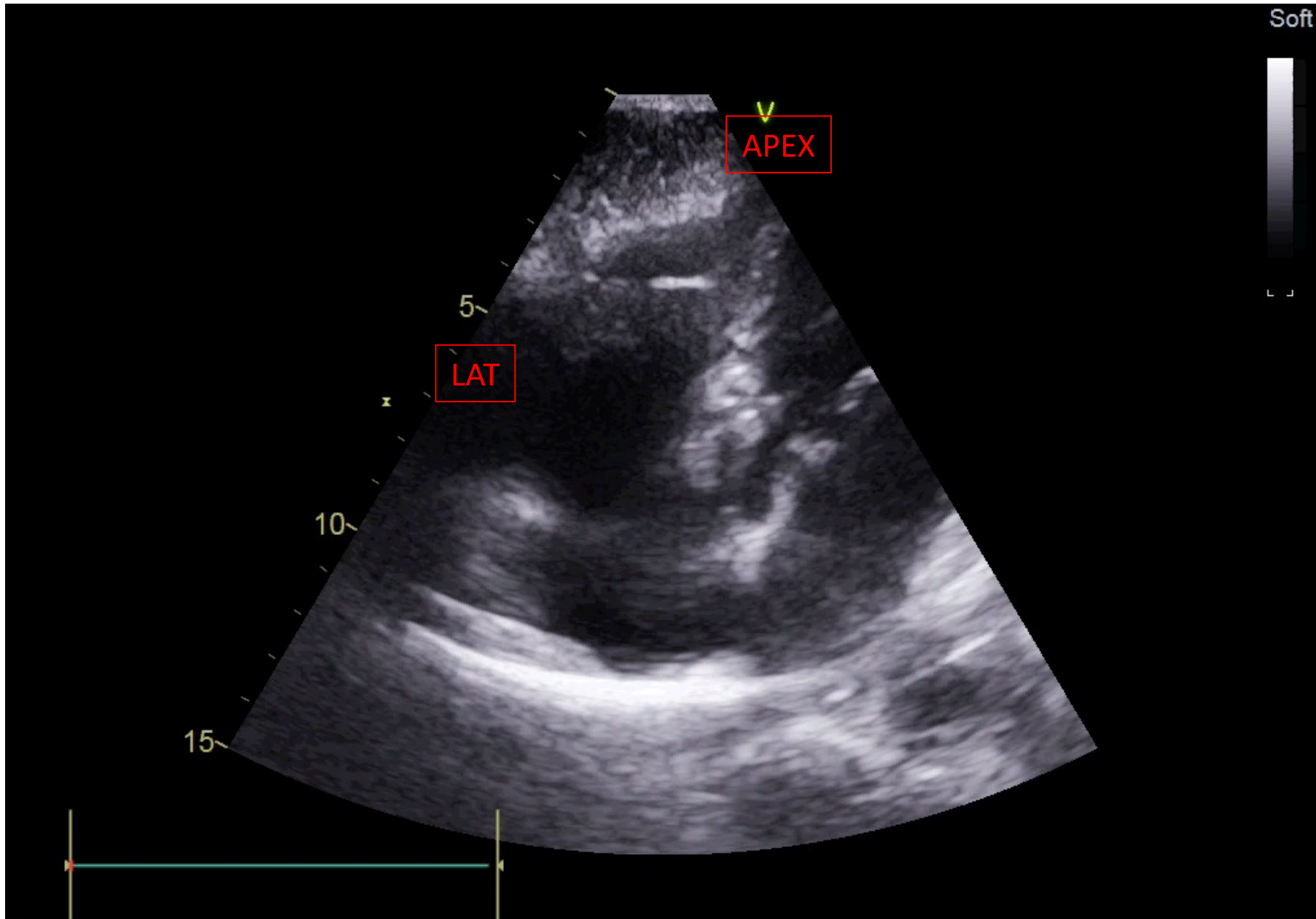
Coupes échographiques



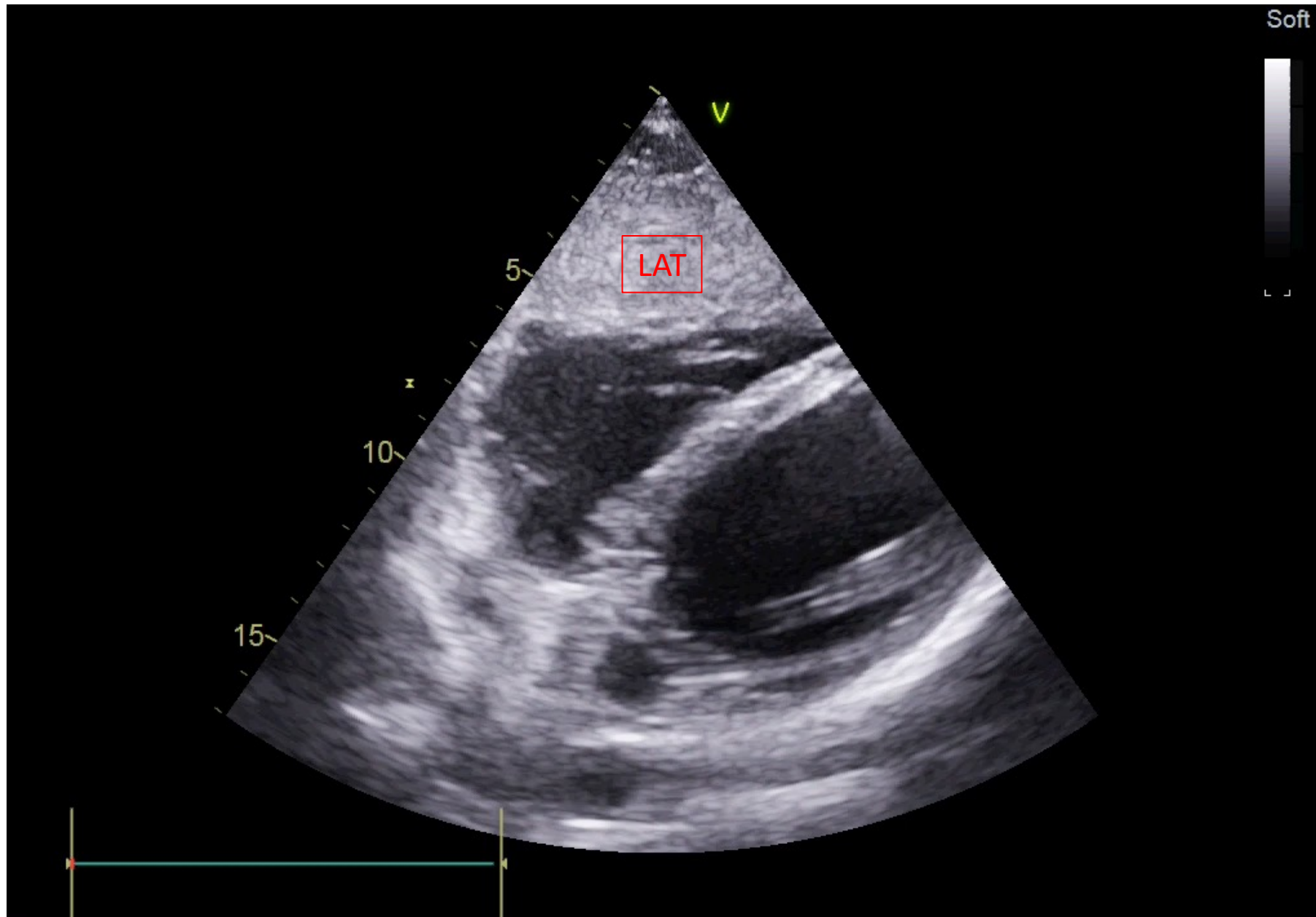
Coupes échographiques : PSPA centrée sur VAo



Coupes échographiques : C4C centrée sur VD



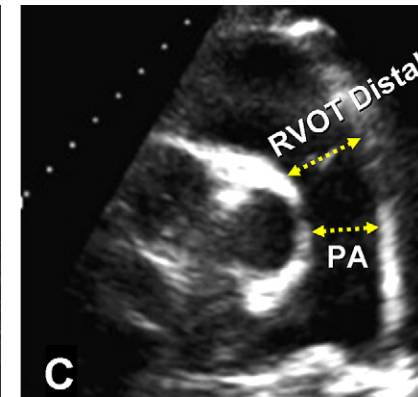
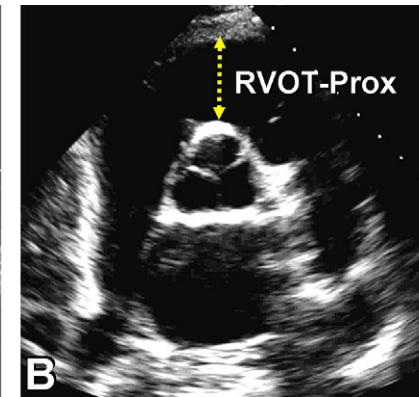
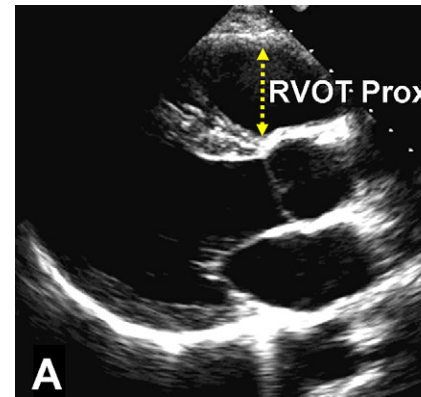
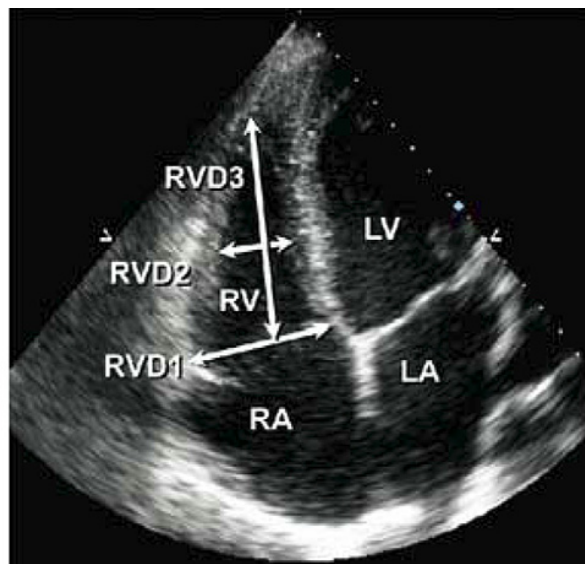
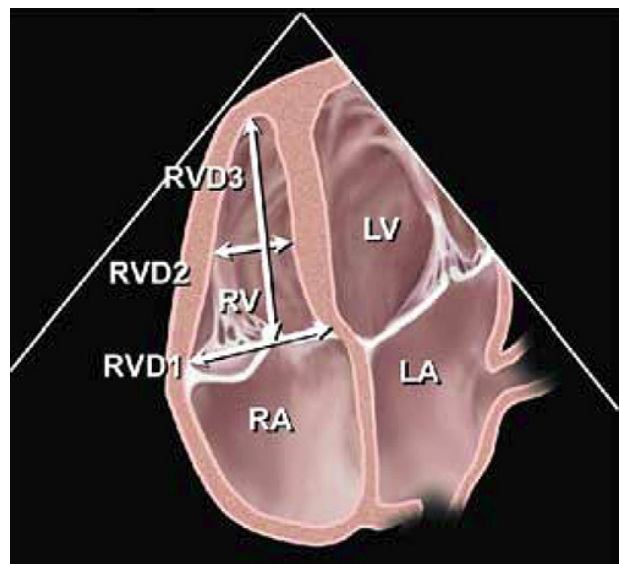
Coupes échographiques : CSC





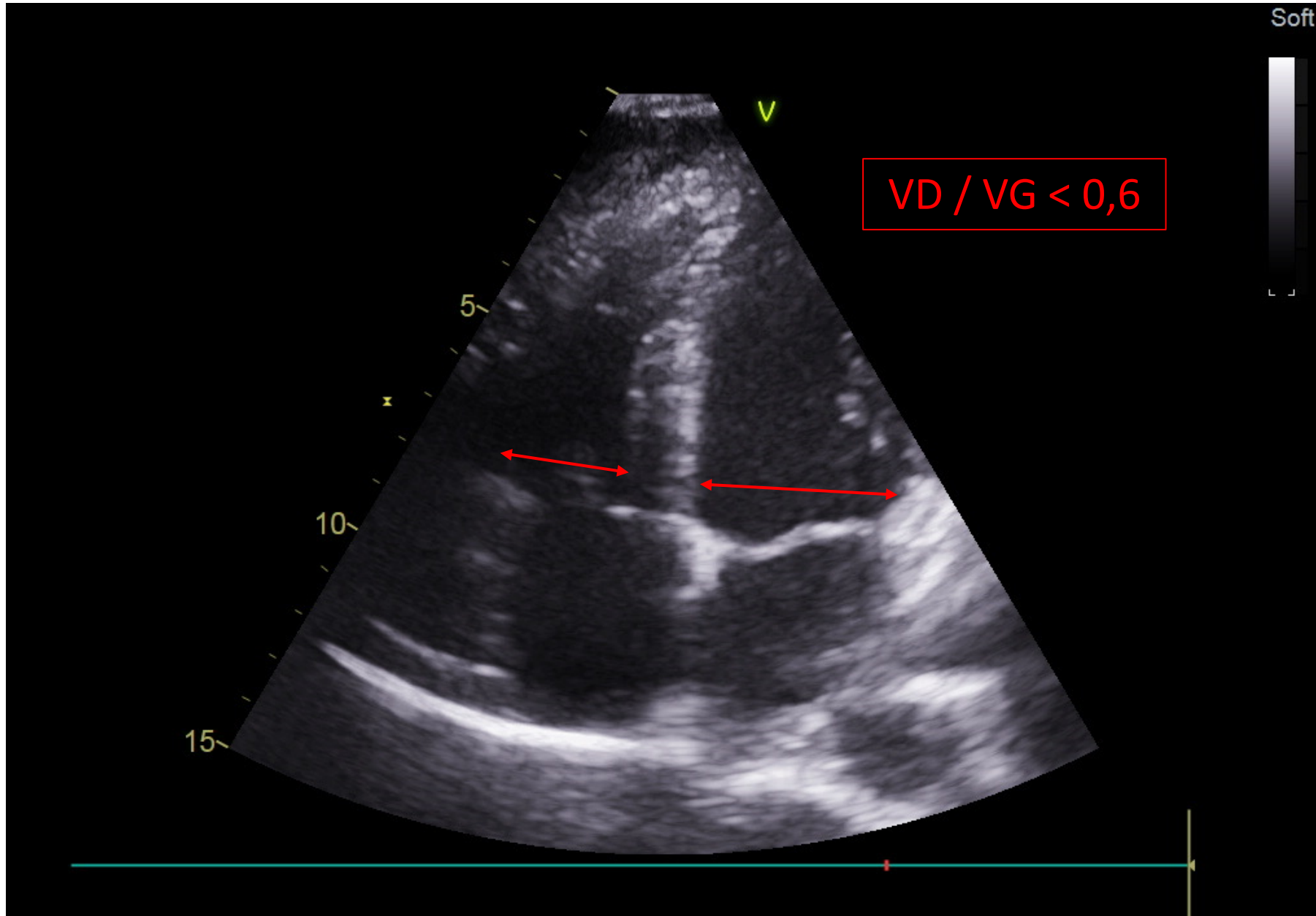
Analyse Morphologique

Analyse morphologique : dimensions



Paramètres	Moyenne \pm sd	Rang normal
Diam basal VD (mm)	33 ± 4	25 – 41
Diam médial VD (mm)	27 ± 4	19 – 35
Diam longitudinal VD (mm)	71 ± 6	59 – 83
Épaisseur paroi VD (mm)	3 ± 1	1 - 5

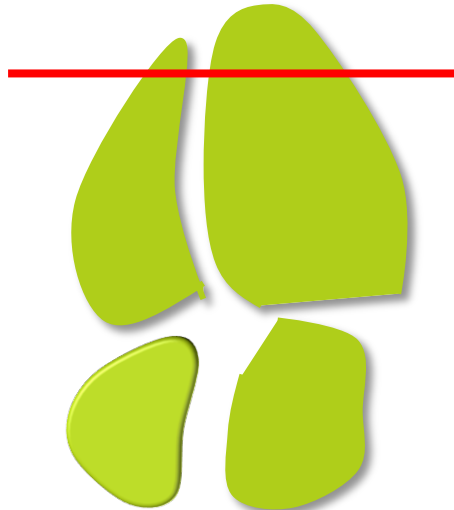
Analyse morphologique



- Fin de diastole
- $VD < \text{ou} = 2/3 \text{ VG}$
- Apex cœur = VG

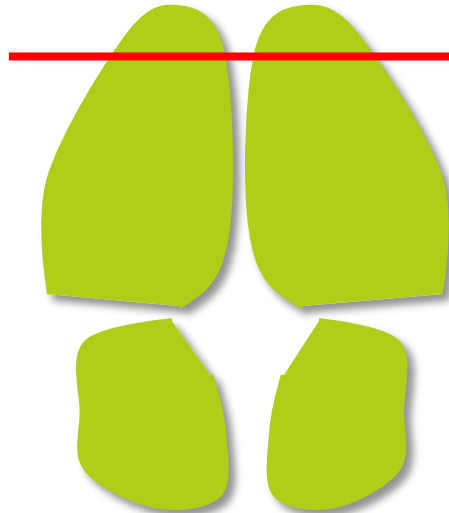
Diastolic overload : dilatation ventriculaire

Normal



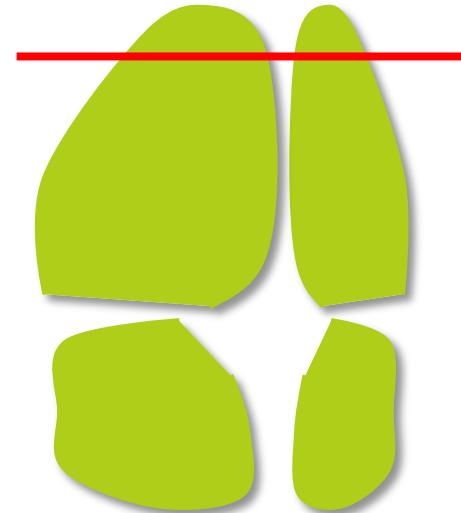
$\text{STDVD}/\text{STDVG} < 0,6$

Dilatation modérée



$0,6 < \text{STDVD}/\text{STDVG} < 1$

Dilatation majeure



$\text{STDVD}/\text{STDVG} > 1$

D'après L. Muller

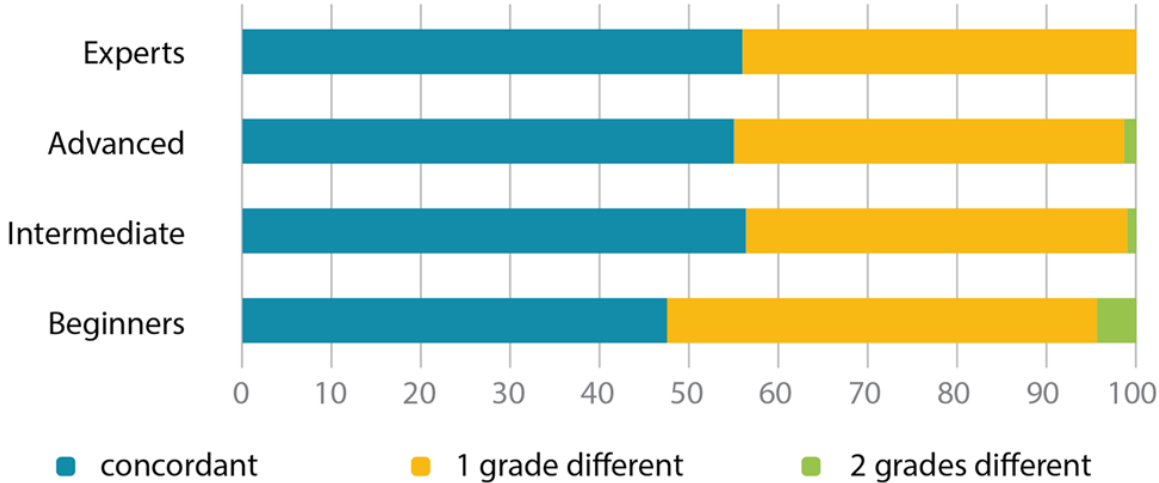
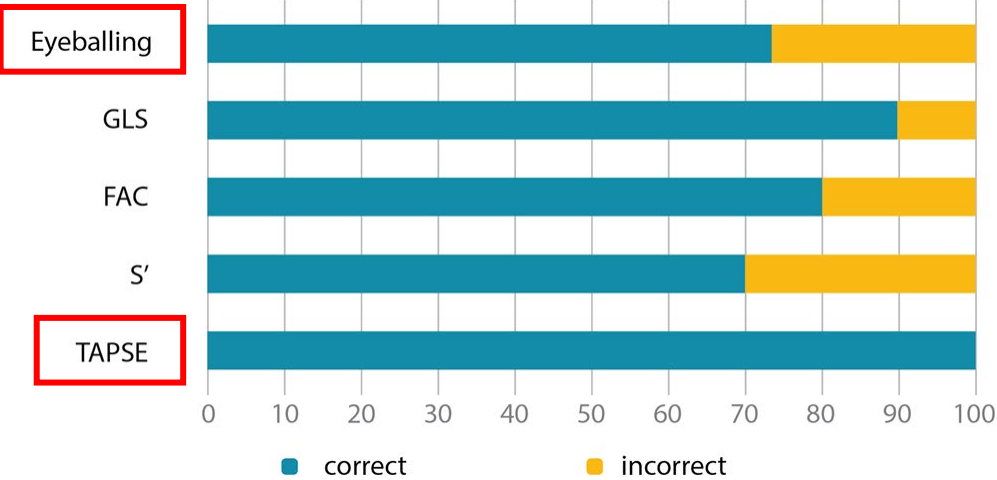
Jardin et al. Chest 1997

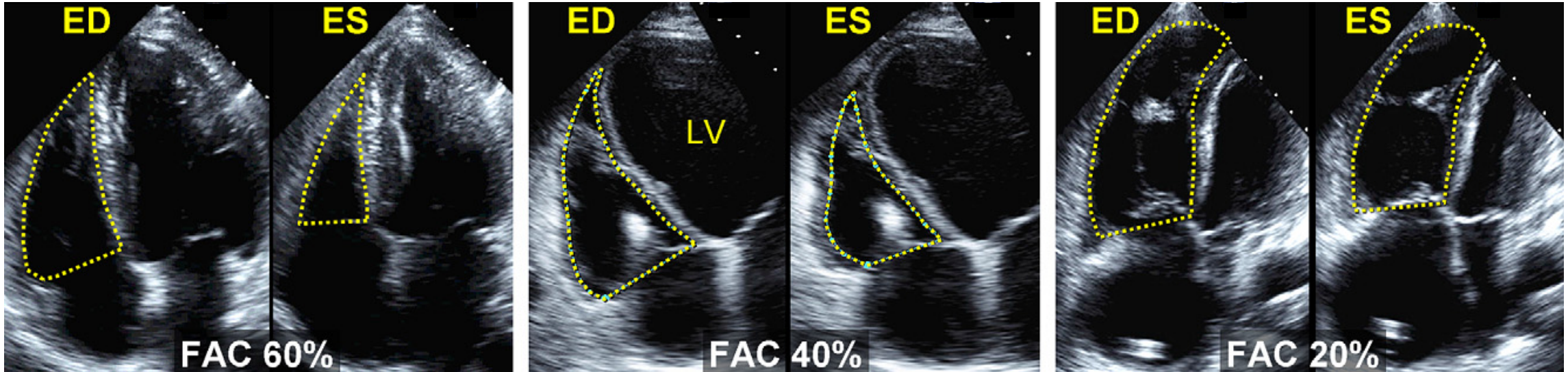


Fonction systolique VD

Evaluation de la fonction systolique VD

	Sensitivity (95% CI)	Specificity (95% CI)	PPV	NPV	Accuracy
Beginner	95.8 (94.1–97)	42.5 (39.1–46)	62.5 (61–63.9)	90.9 (87.7–93.4)	69.1 (66.8–71.4)
Intermediate	96.5 (95.6–97.3)	54.6 (52.4–56.7)	68 (66.9–69)	94 (92.6–95.2)	75.5 (74.2–76.8)
Advanced	96.8 (95.7–97.7)	52.8 (50–55.5)	67.2 (65.9–68.5)	94.3 (92.5–95.8)	74.8 (73.1–76.5)
Experts	97.1 (94.5–98.6)	55.7 (50–61.4)	68.7 (65.9–71.4)	95 (90.8–97.3)	76.4 (72.8–79.7)





Fraction de raccourcissement de surface

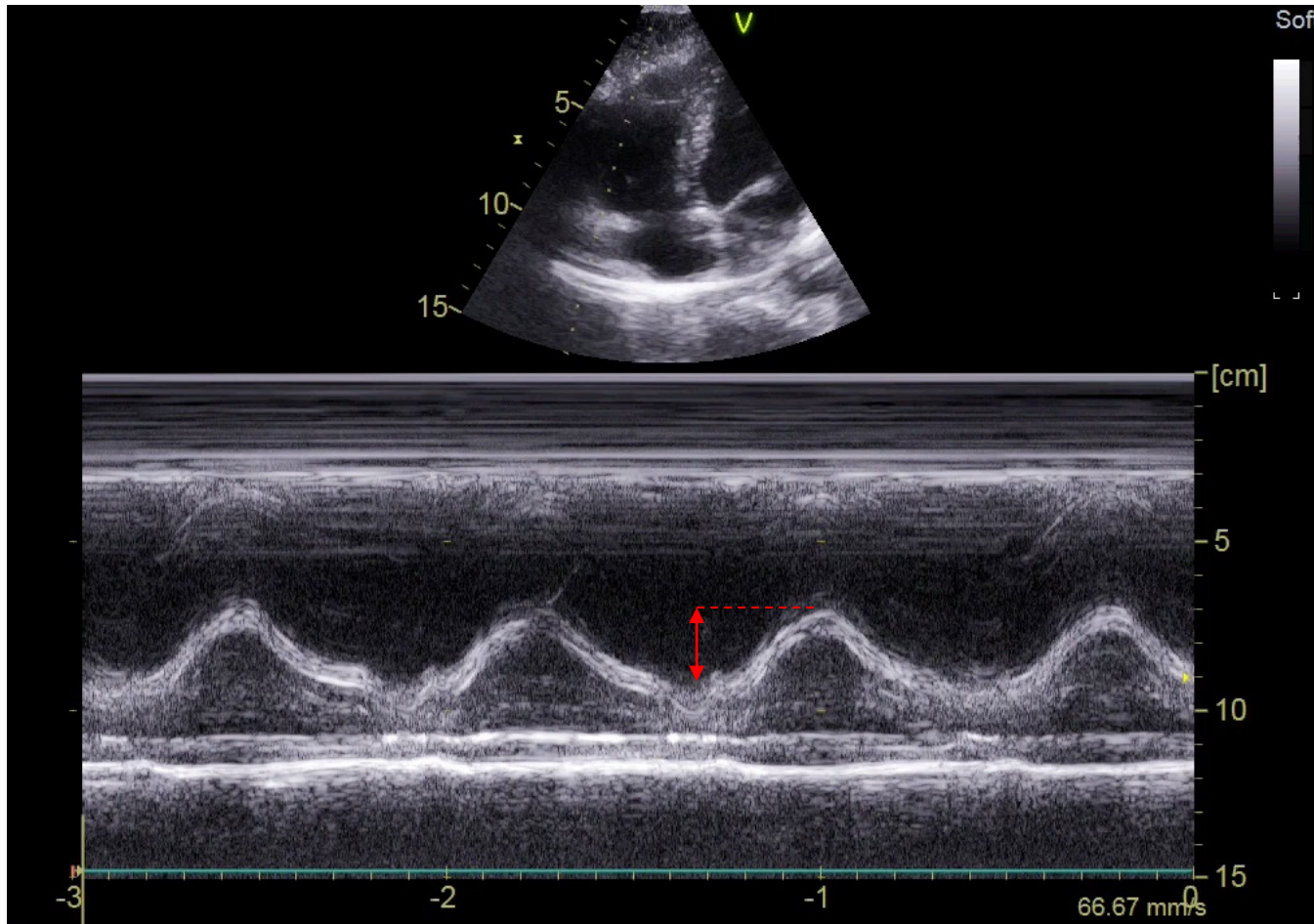
- évaluation de la fonction VD « globale »
- **dysfonction VD si FR < 35%**
- évaluation subjective
- néglige 25 à 30% du volume VD (CC)

$$\text{FRVD} = \frac{\text{STDVD} - \text{STSVD}}{\text{STDVD}} \times 100$$

Evaluation de la fonction VD - **TAPSE**

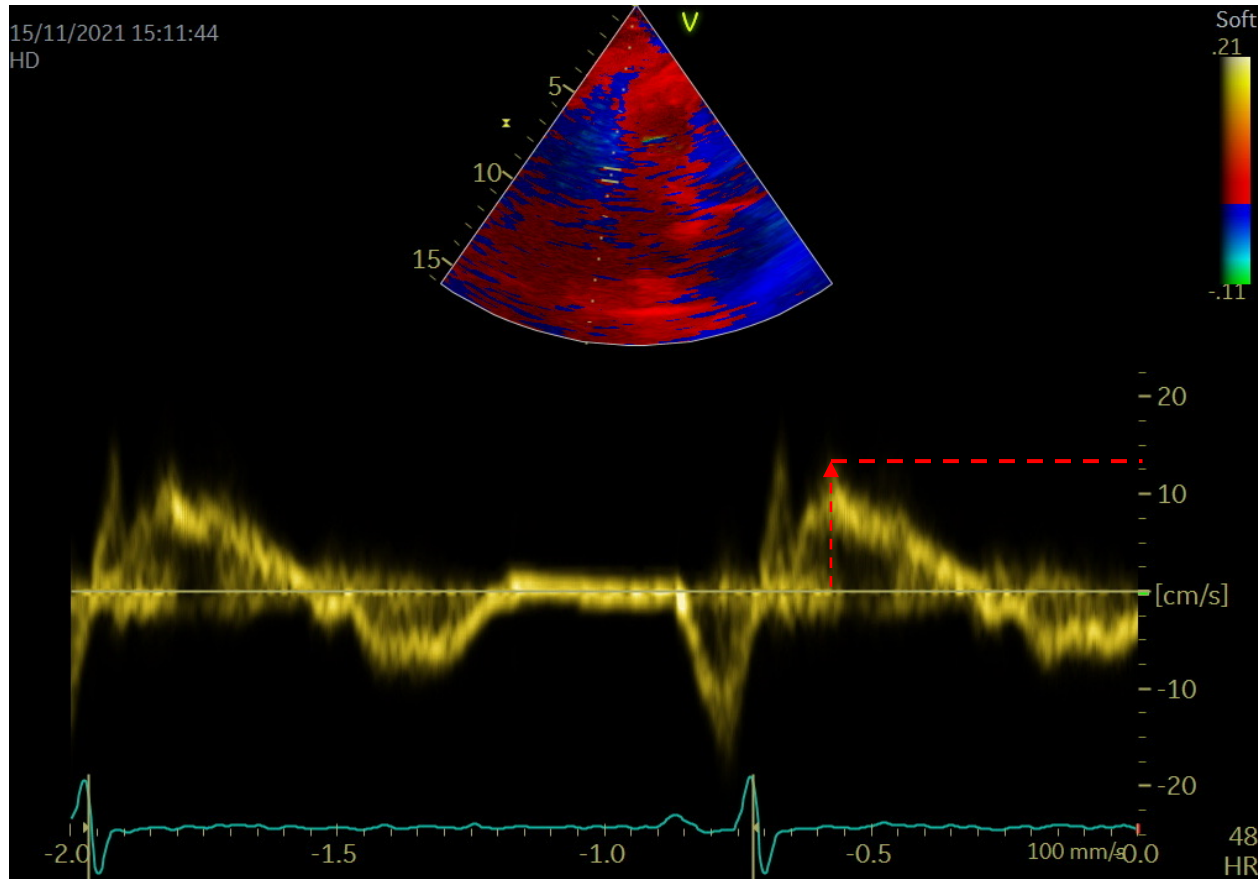
Evaluation de la fonction VD - TAPSE

Excursion systolique du plan de l'anneau tricuspide



TAPSE

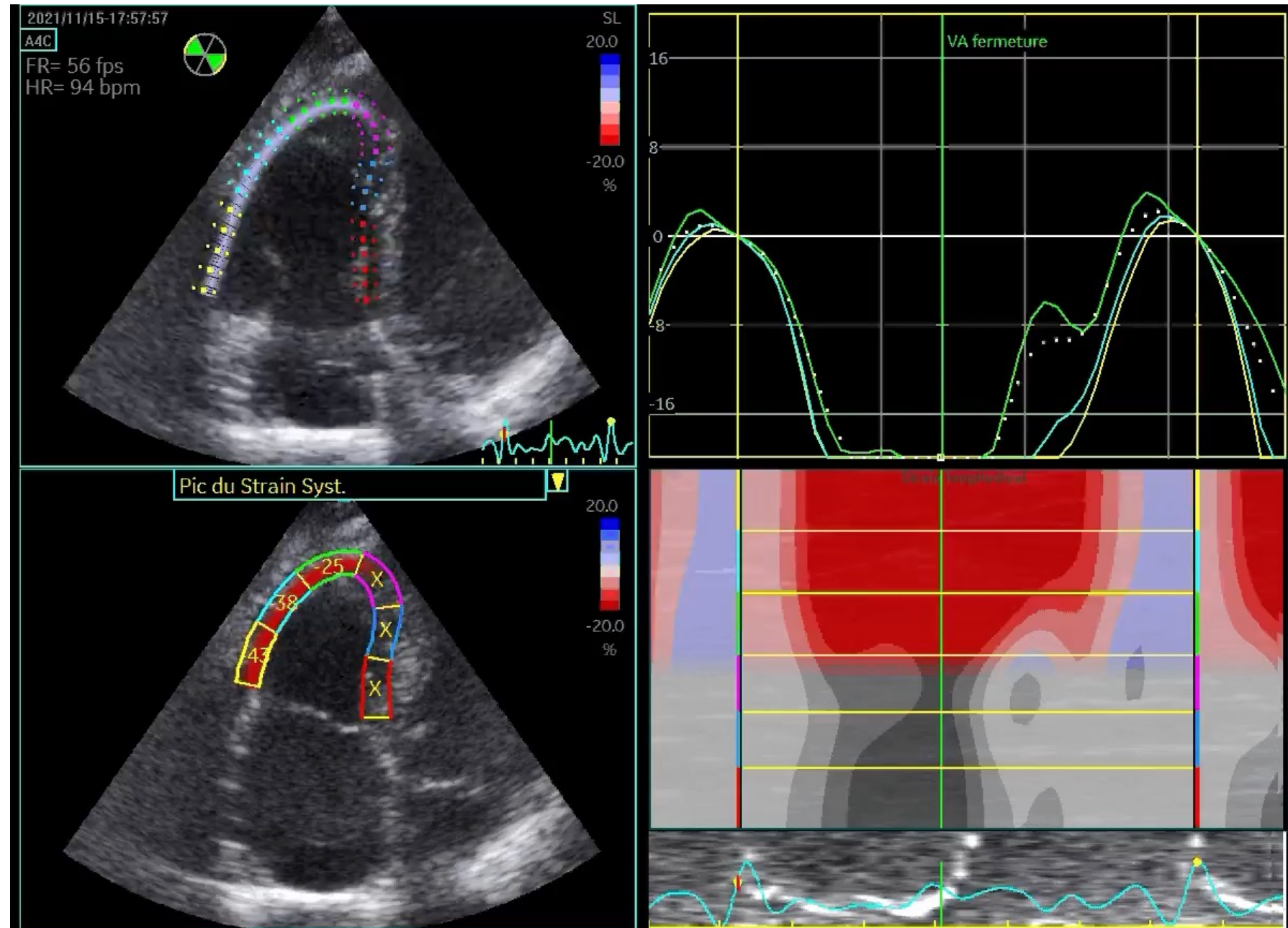
- indice de contraction longitudinale
- **dysfonction VD si TAPSE < 16 mm**
- avantages : simple et reproductible
- limite : angle-dépendant
- intérêt pronostic ++



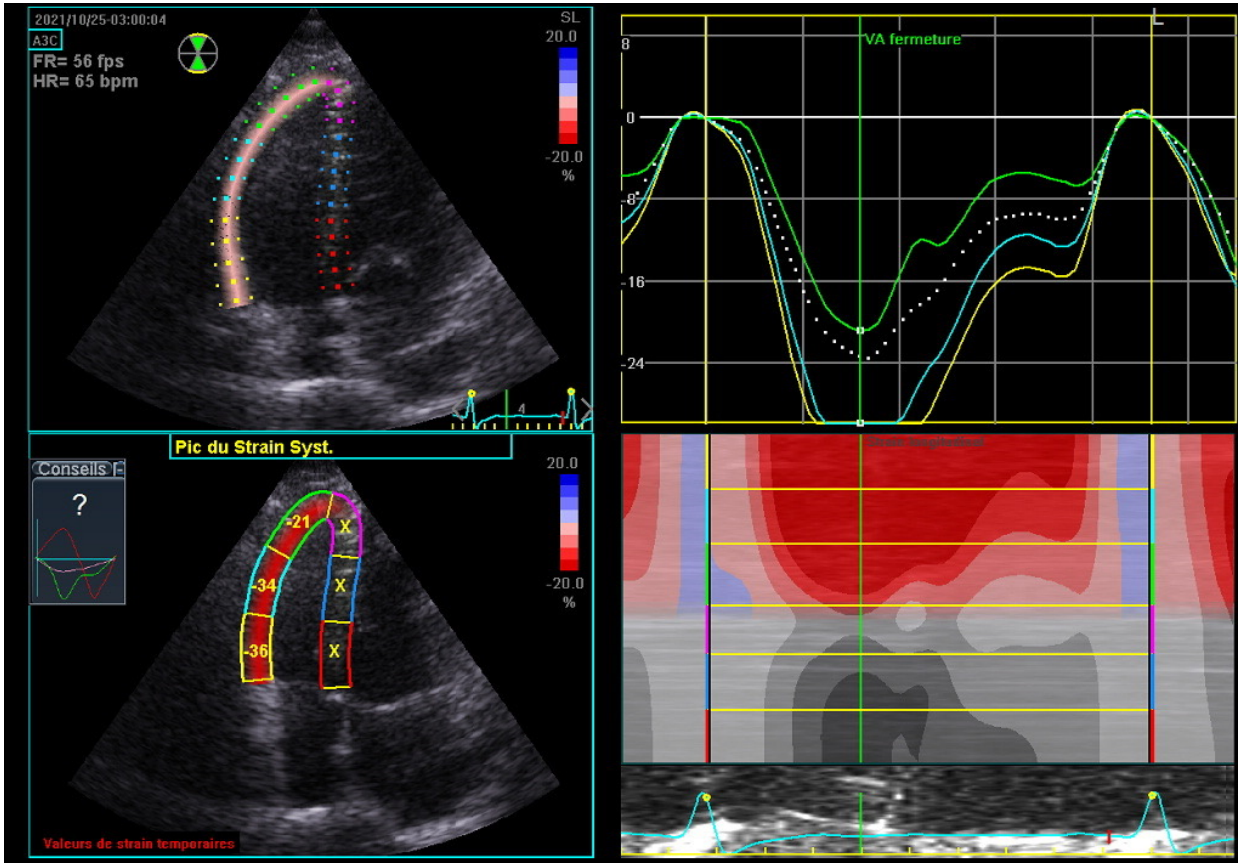
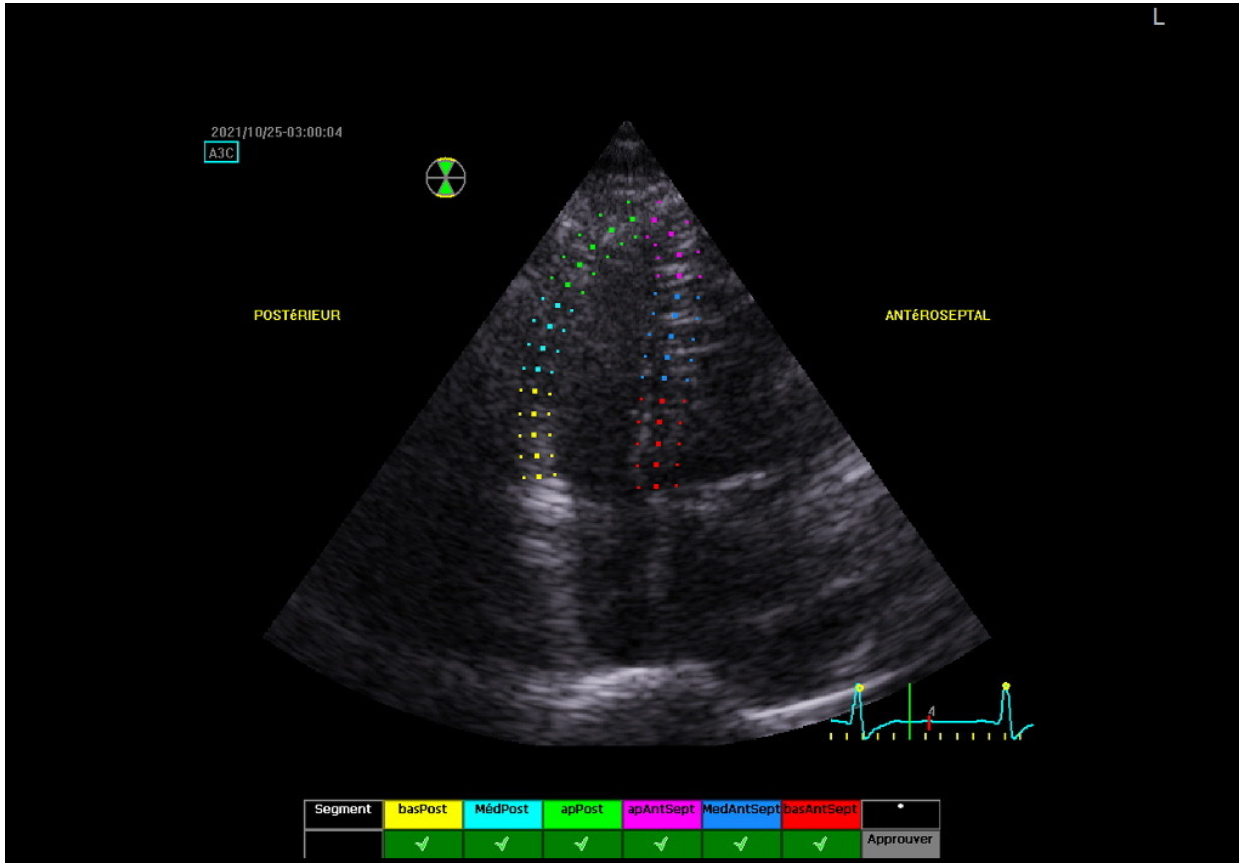
DTI de l'anneau tricuspideen : onde S

- indice de contraction longitudinale
- **dysfonction VD si onde S < 10 cm/s**
- avantages : simple et reproductible
- limites : angle-dépendant et personnes âgées

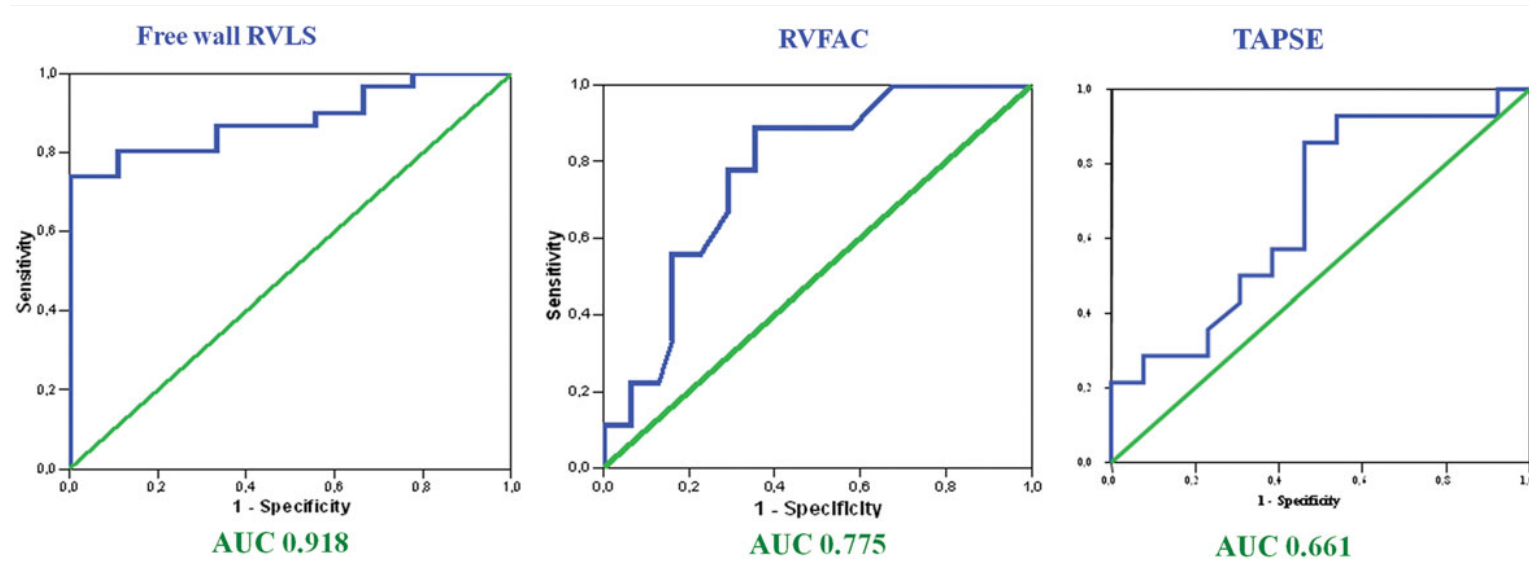
Evaluation de la fonction VD – Strain VD



Evaluation de la fonction VD – Strain VD



Evaluation de la fonction VD – Strain VD



STRAIN de la paroi libre du VD

- **dysfonction VD si pic 2D strain paroi libre > - 20 %**
- avantages : simple avec nouveaux outils d'intelligence artificielle
- limites : post-charge dépendant ; seuil fonction âge et machine

Evaluation de la fonction VD

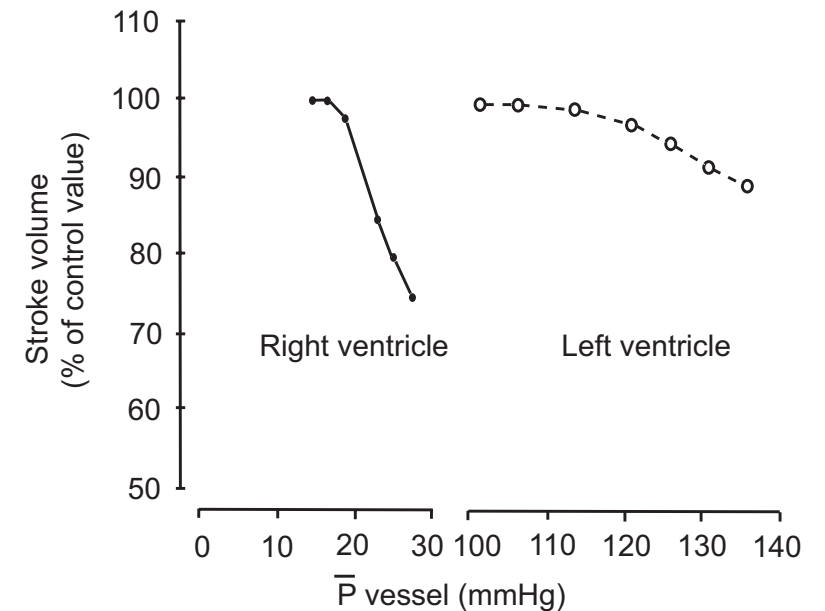
❖ Problématique : outils d'évaluation de la fonction VD dépendant des conditions de charge

❖ Post charge VD

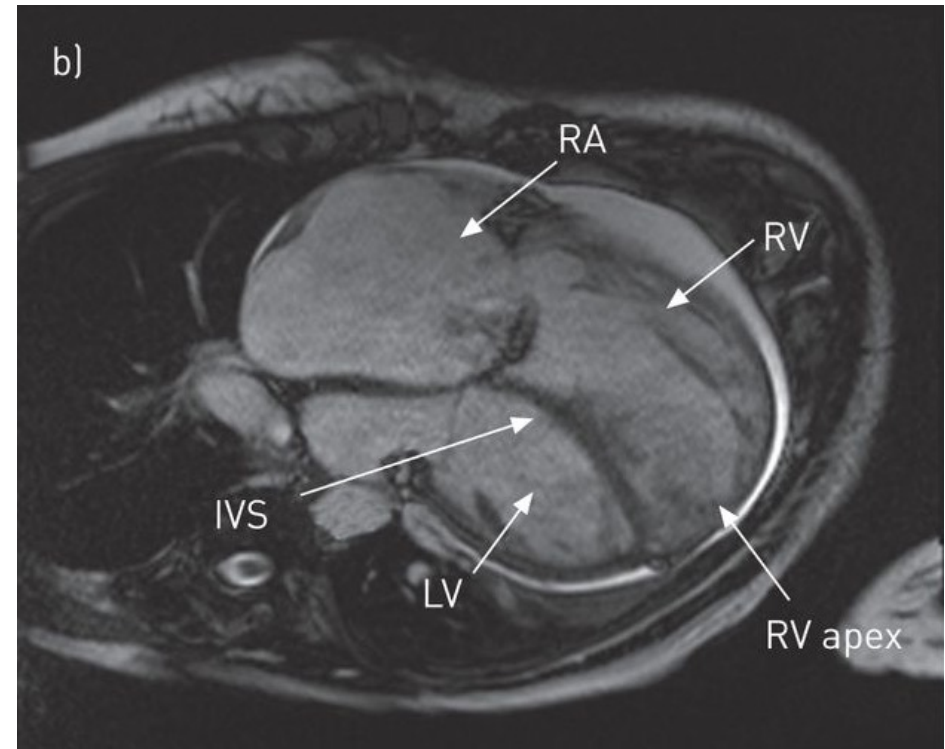
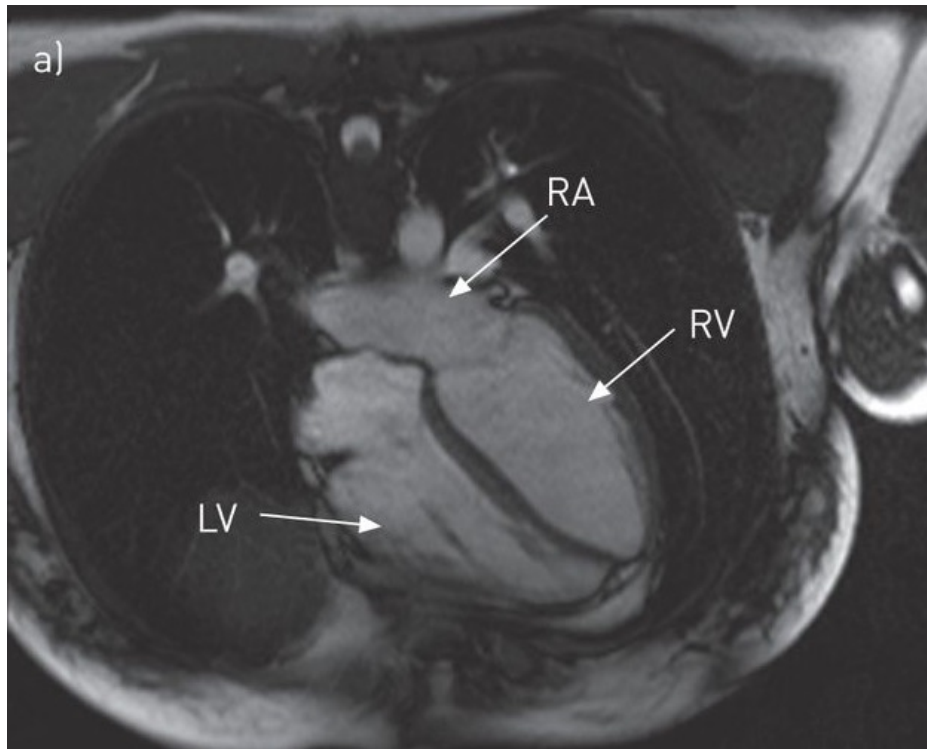
- PRVG
- Résistances Pulmonaires (pressions pulmonaires)

❖ **Approche multiparamétrique indispensable**

- Au moins 2 paramètres
- Si post-charge normale = dysfonction VD intrinsèque probable
- Si post-charge élevée = fonction VD intrinsèque probablement normale



Evaluation de la fonction VD - IRM



IRM Cardiaque = Gold Standard



Fonction systolique VD

- ☐ Evaluation visuelle ++
- ☐ Fraction de raccourcissement
- ☐ TAPSE ++ (pronostic)
- ☐ Strain VD



Hémodynamique VD et CPA

Embolie Pulmonaire

AUGMENTATION POST CHARGE = HYPERTENSION PULMOAIRE

VENTRICULE DROIT

- **DILATATION** ventriculaire droite
- Dilatation **rapide** et **réversible**
- **Déplacement vers la gauche du SIV**
- Chute du volume d'éjection systolique

VENTRICULE GAUCHE

- Tendance à l' **HYPERTROPHIE**
- Phénomène lent et irréversible
- Maintien du volume d'éjection

1. Effet Franck-Starling

Adaptation hétérométrique : Relation longueur – force

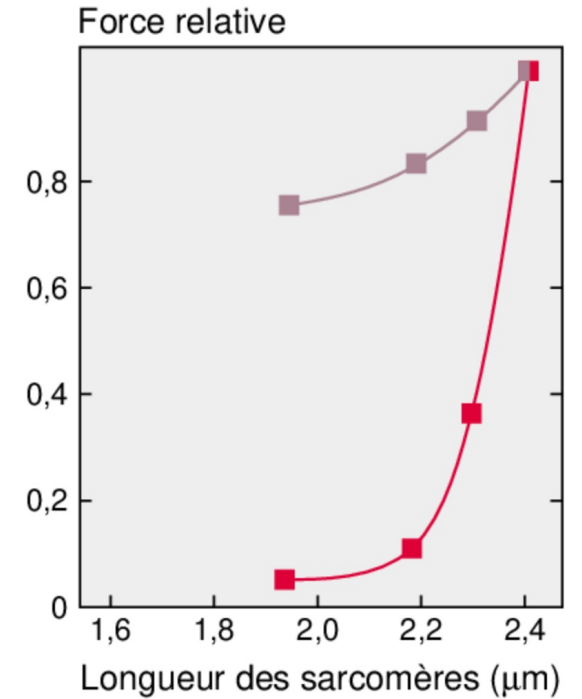
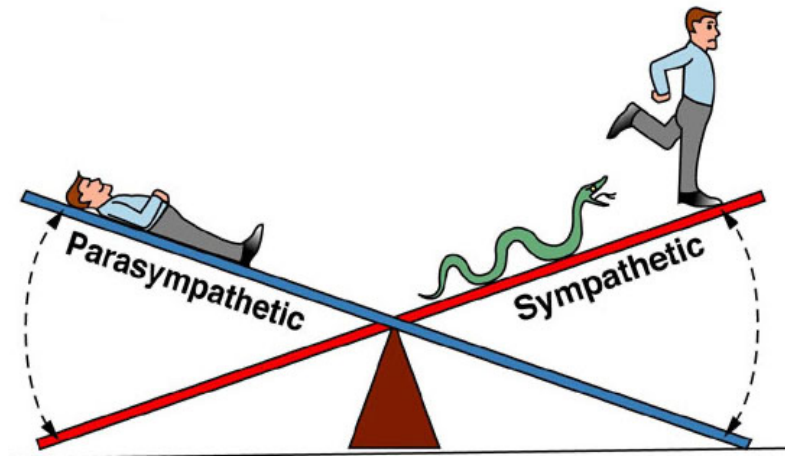
- Etirement des myocytes + prolongation du temps de contraction VD

2. Activation neuro-hormonale et effet Anrep

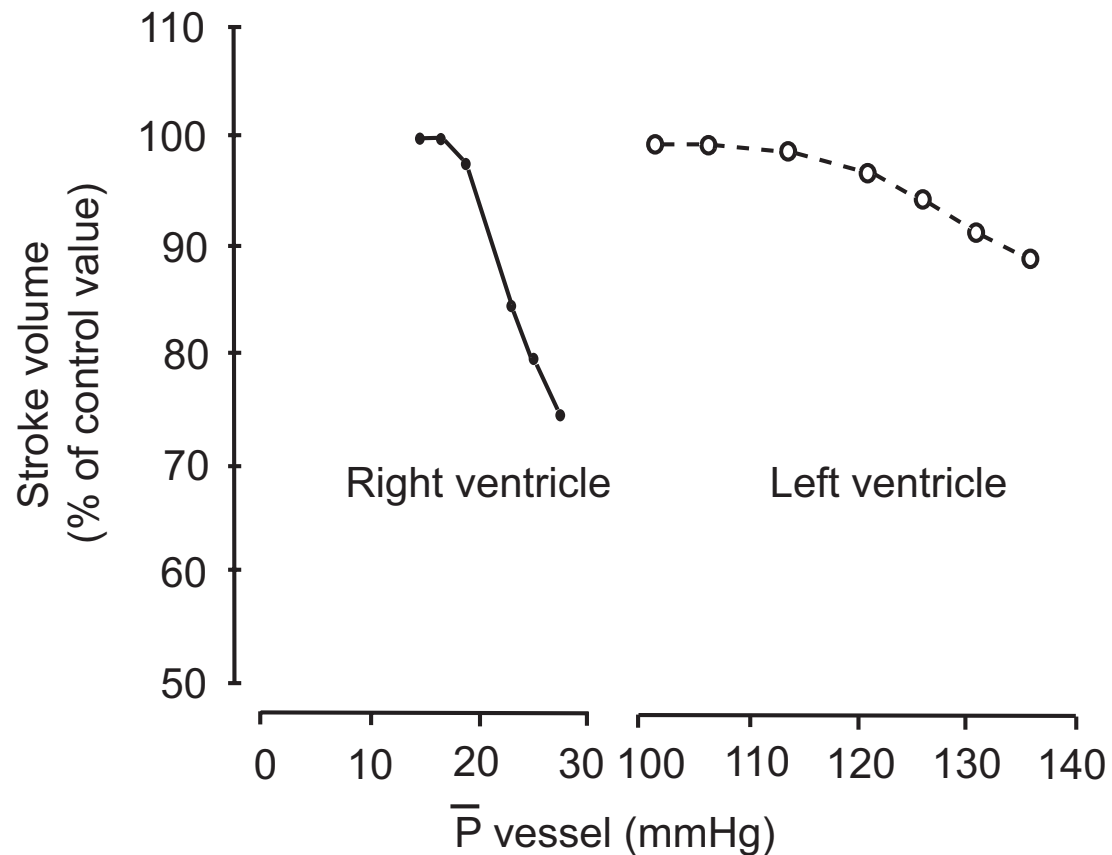
Système sympathique et rénine-angiotensine-aldostérone

- Stimulation inotrope et chronotrope

3. Vasoconstriction systémique



- Augmentation des pressions artérielles pulmonaires
- Amélioration du débit dans le lit vasculaire pulmonaire obstrué
- Stabilisation temporaire de la pression artérielle



IMPOSSIBLE

PAP moyenne > 40 mmHg

Diagnostics en cas d'hypertension pulmonaire aiguë ?

- **HTP post-capillaire** = cœur gauche +++ (50%)
- Embolie Pulmonaire
- Pneumopathie hypoxémiante
- Syndrome de Détresse Respiratoire Aigue
- Ventilation mécanique

} Cœur Pulmonaire Aigu

Augmentation brutale et importante de la post-charge VD

Cœur Pulmonaire Aigu

1. diastolic overload =
dilatation ventriculaire droite
2. systolic overload =
dyskinésie septale = septum paradoxal

Conséquence possible

➤ Insuffisance Circulatoire Aigue



Diastolic overload : dilatation ventriculaire

Normal



$\text{STDVD}/\text{STDVG} < 0,6$

Dilatation modérée



$0,6 < \text{STDVD}/\text{STDVG} < 1$

Dilatation majeure



$\text{STDVD}/\text{STDVG} > 1$

D'après L. Muller

Jardin et al. Chest 1997

Diastolic overload : dilatation ventriculaire

Cardio Adul

S5-1

30Hz

17,0cm

2D

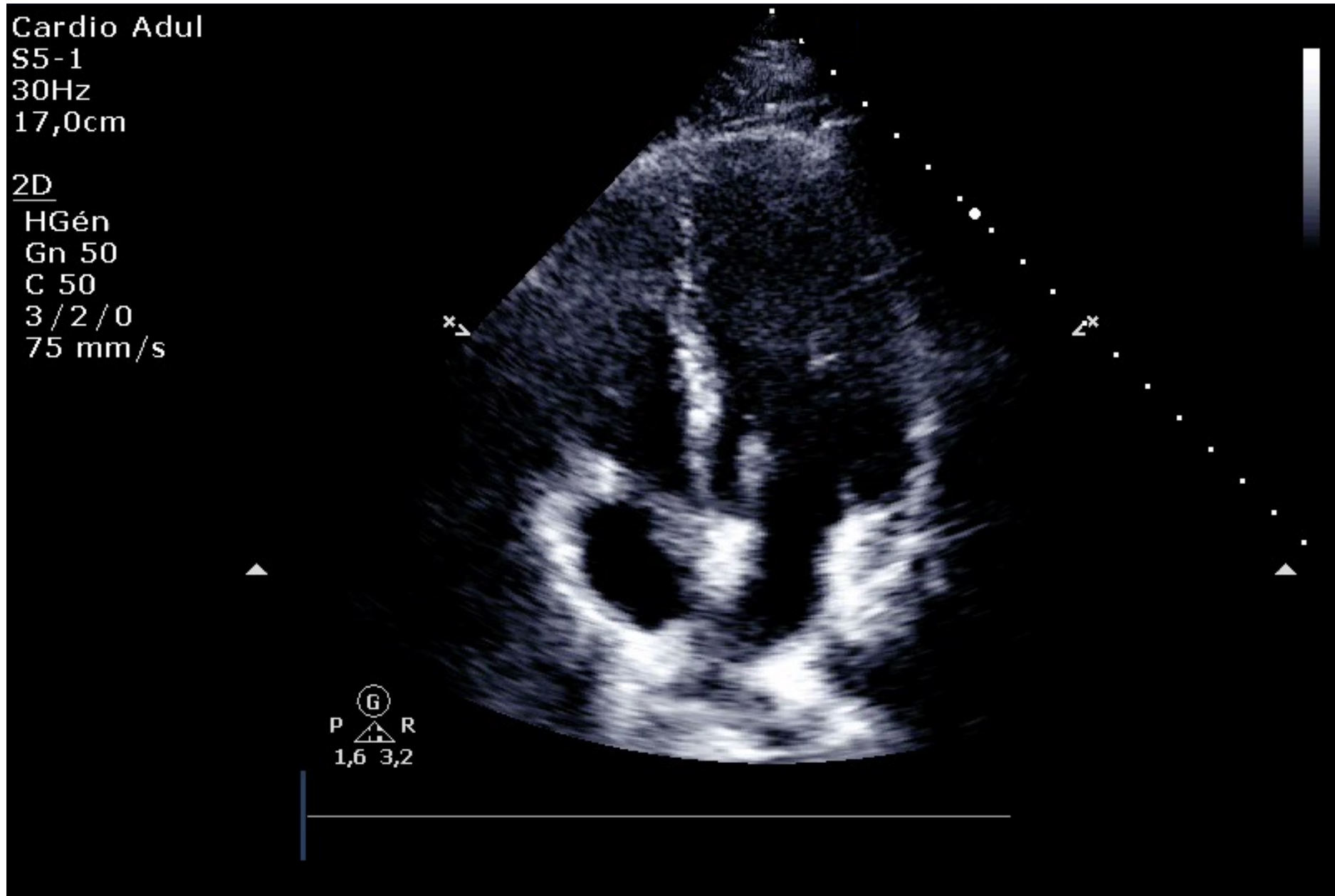
HGén

Gn 50

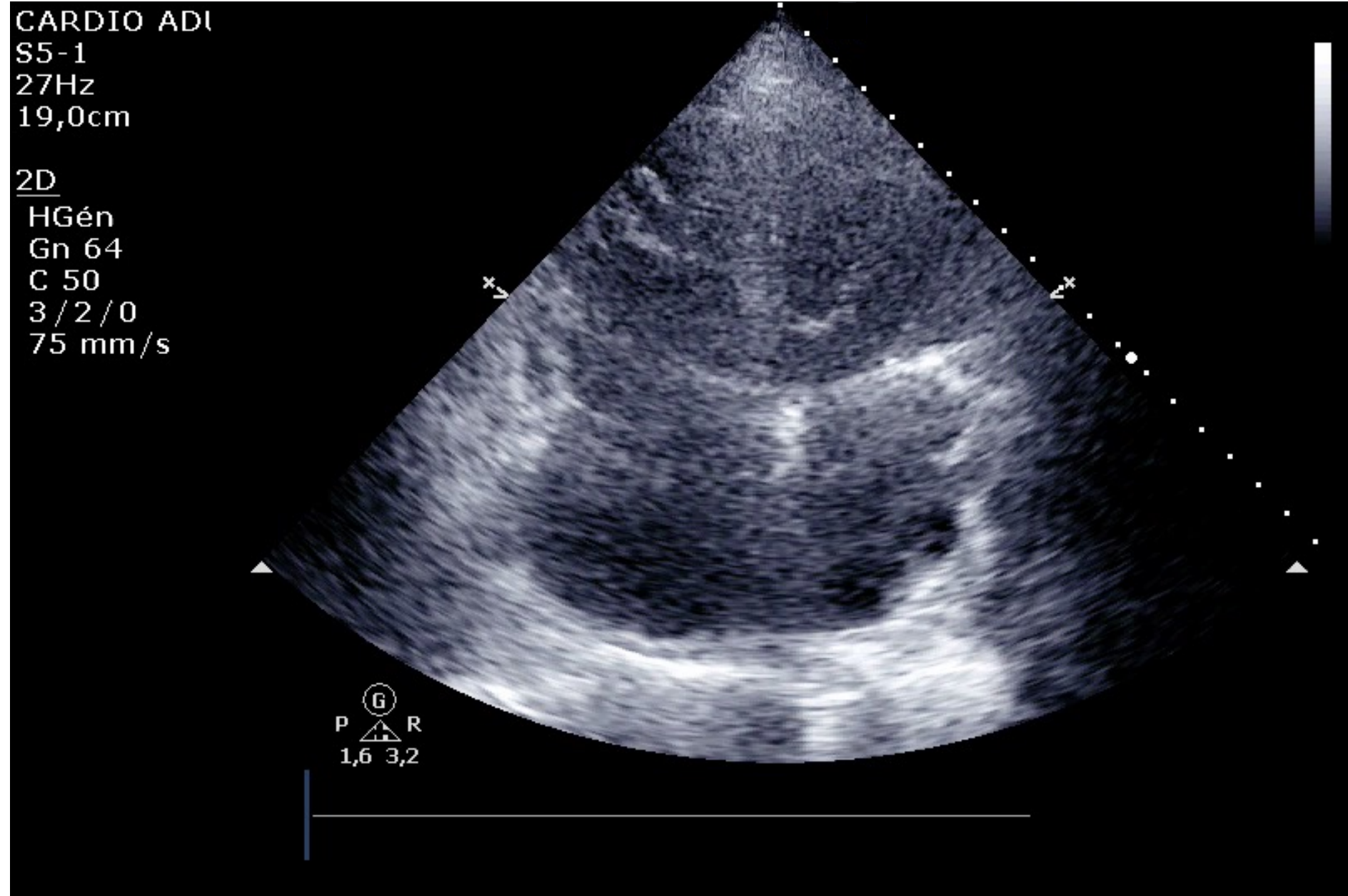
C 50

3 / 2 / 0

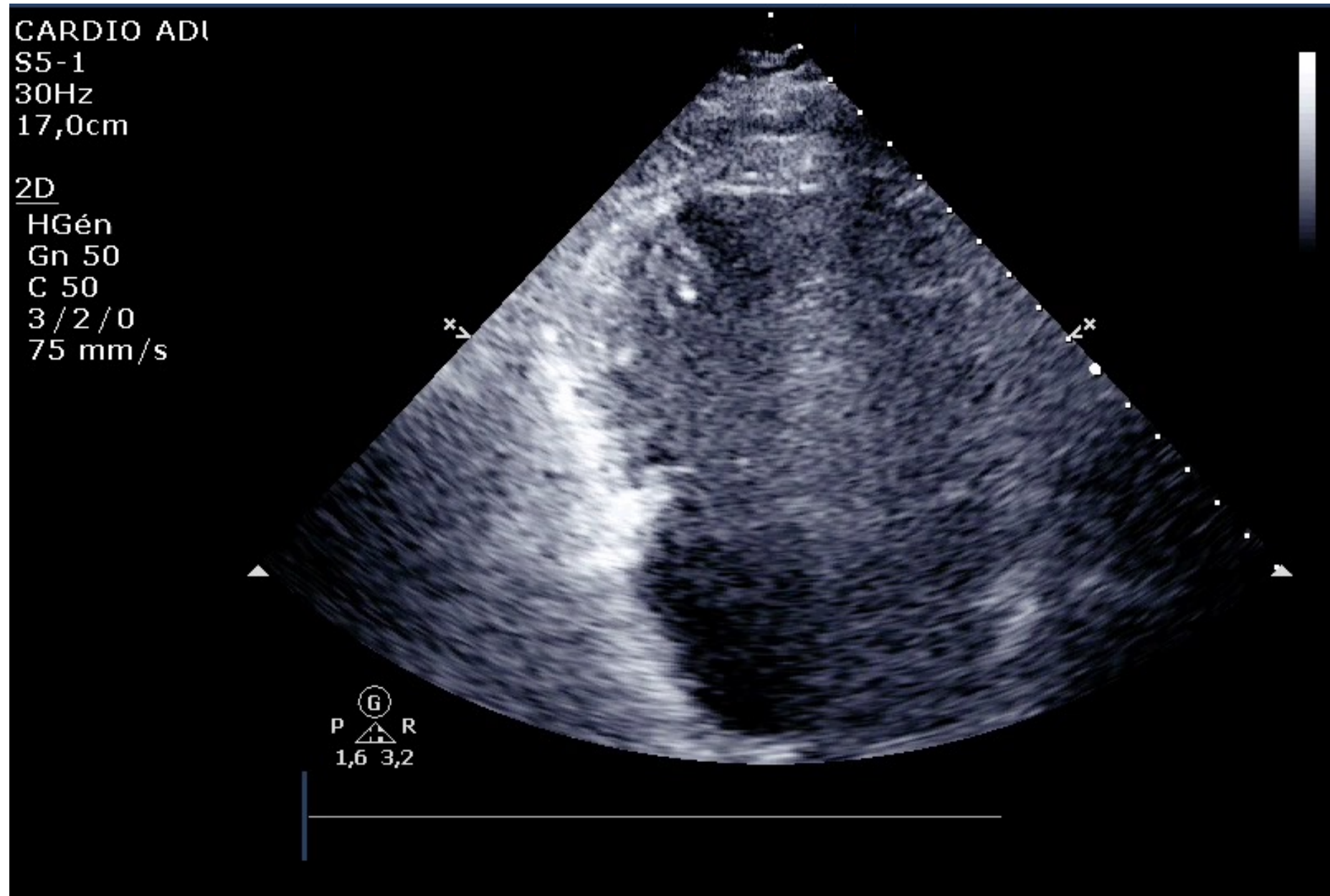
75 mm/s



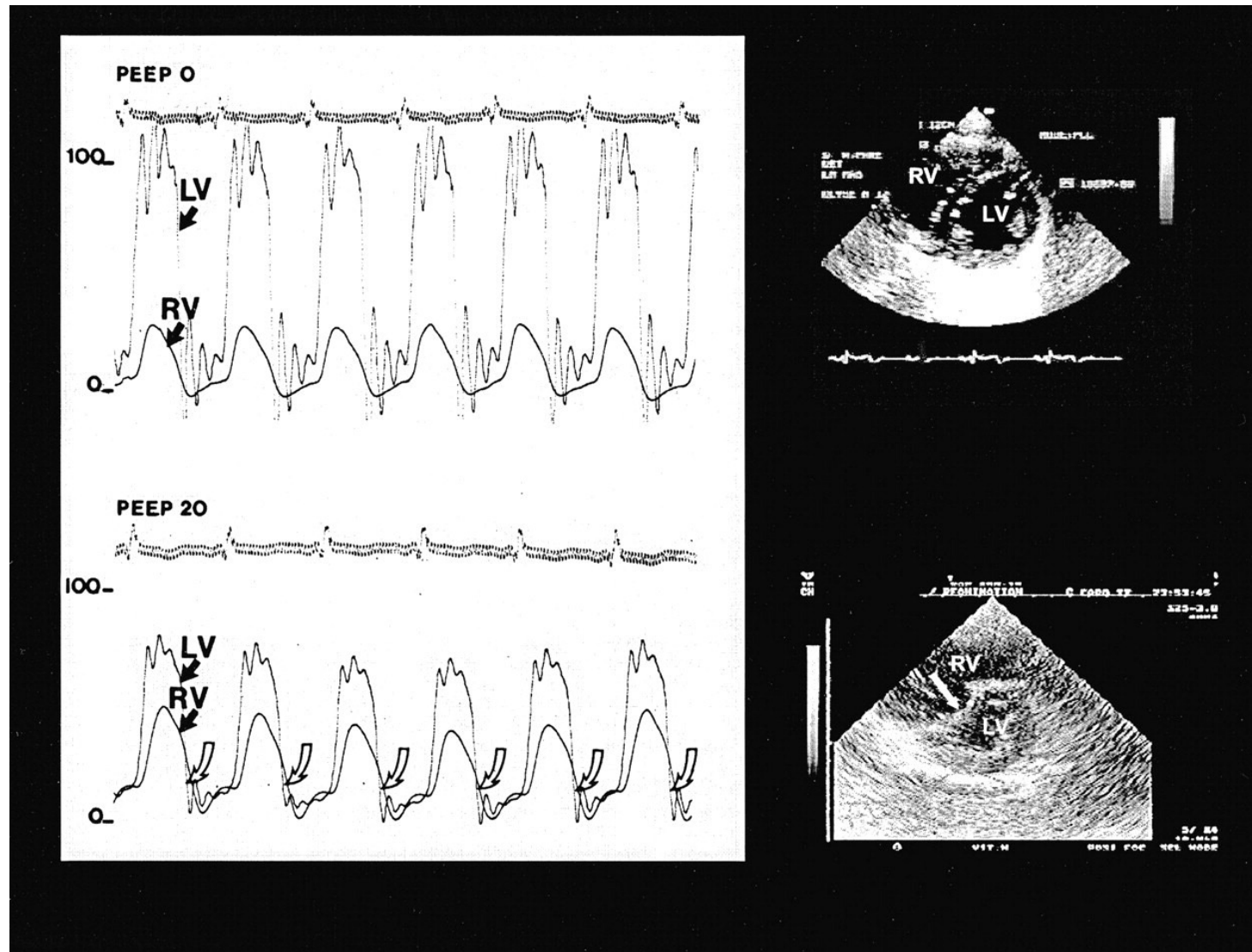
Diastolic overload : dilatation ventriculaire



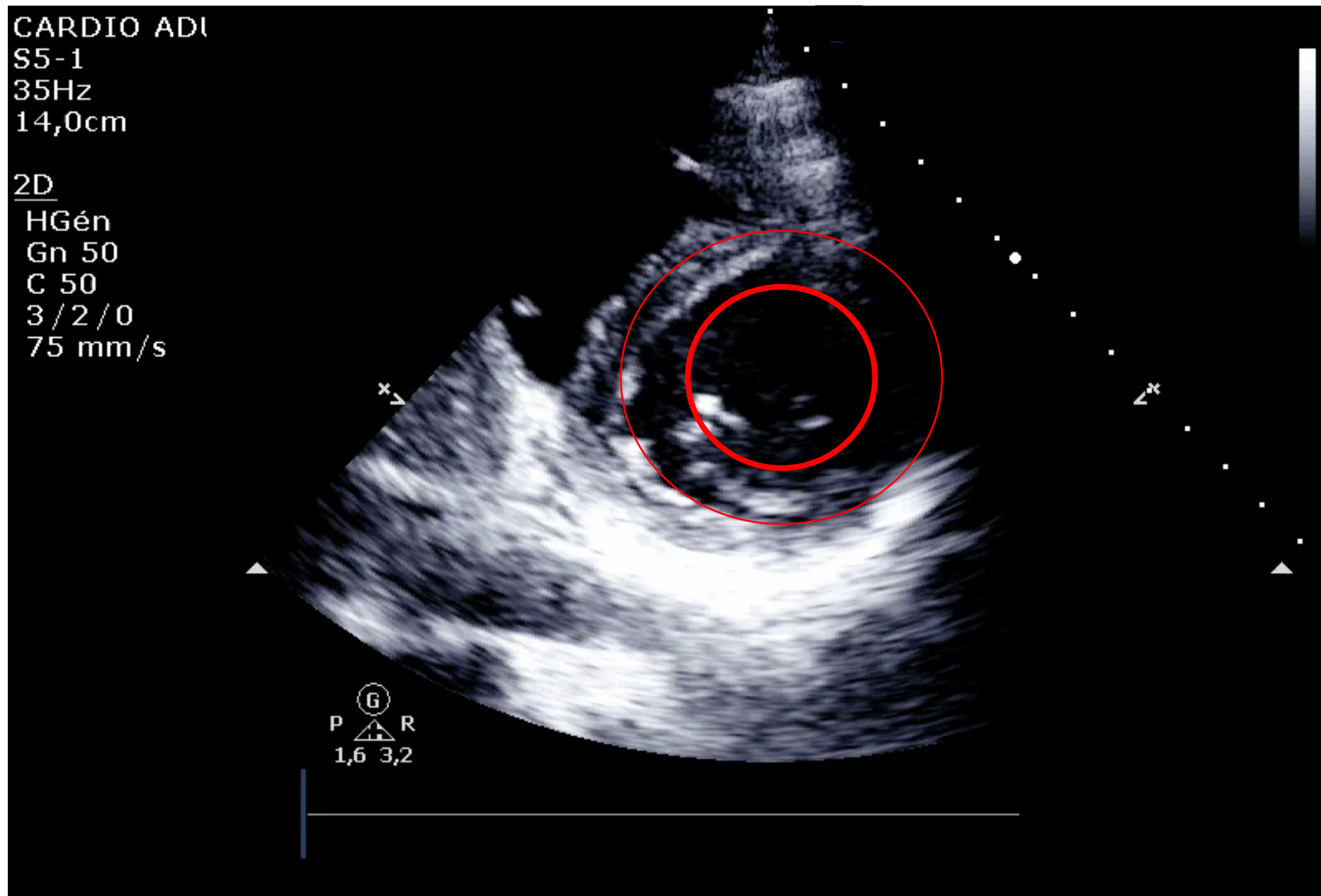
Diastolic overload : dilatation ventriculaire



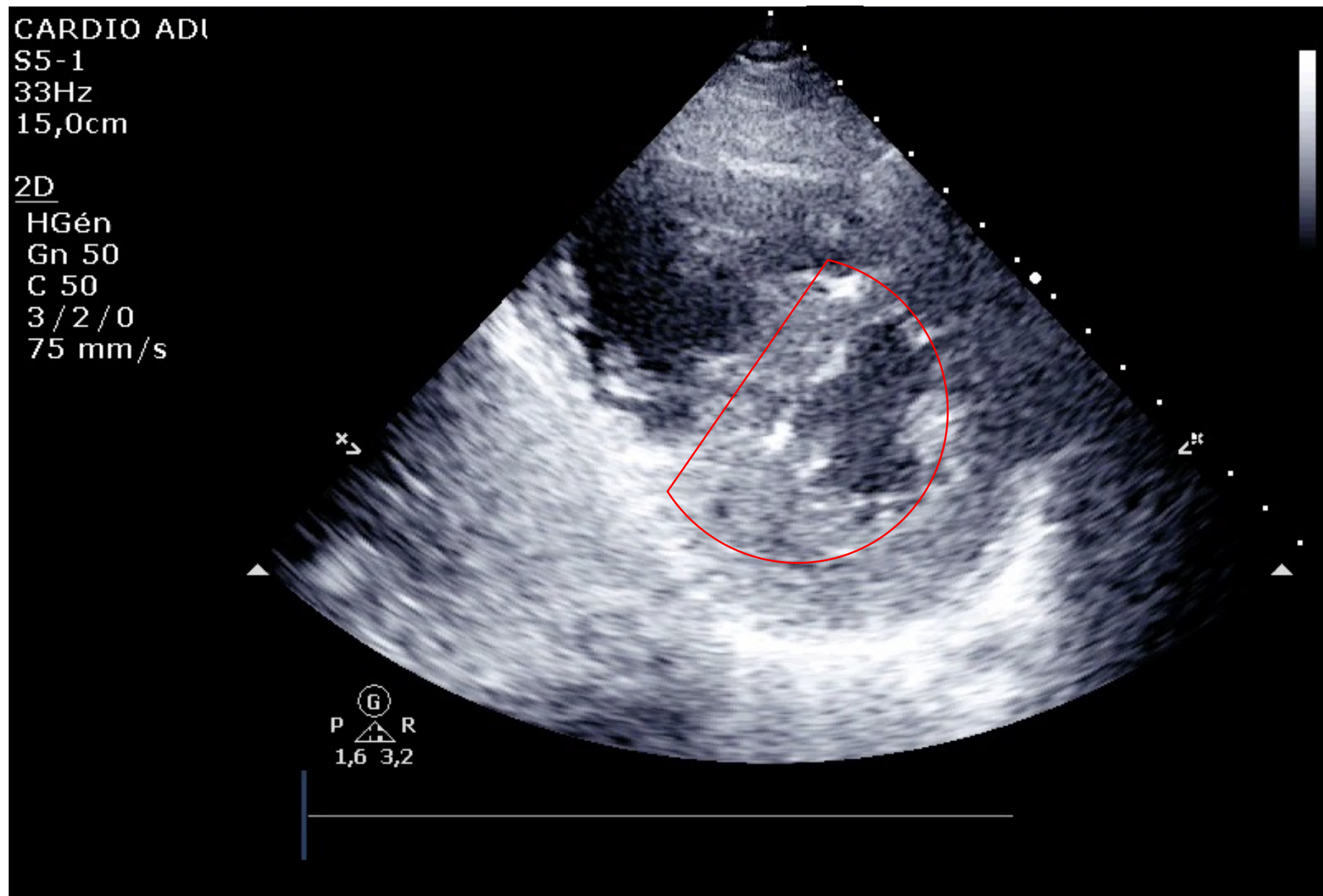
Systolic overload : septum paradoxal



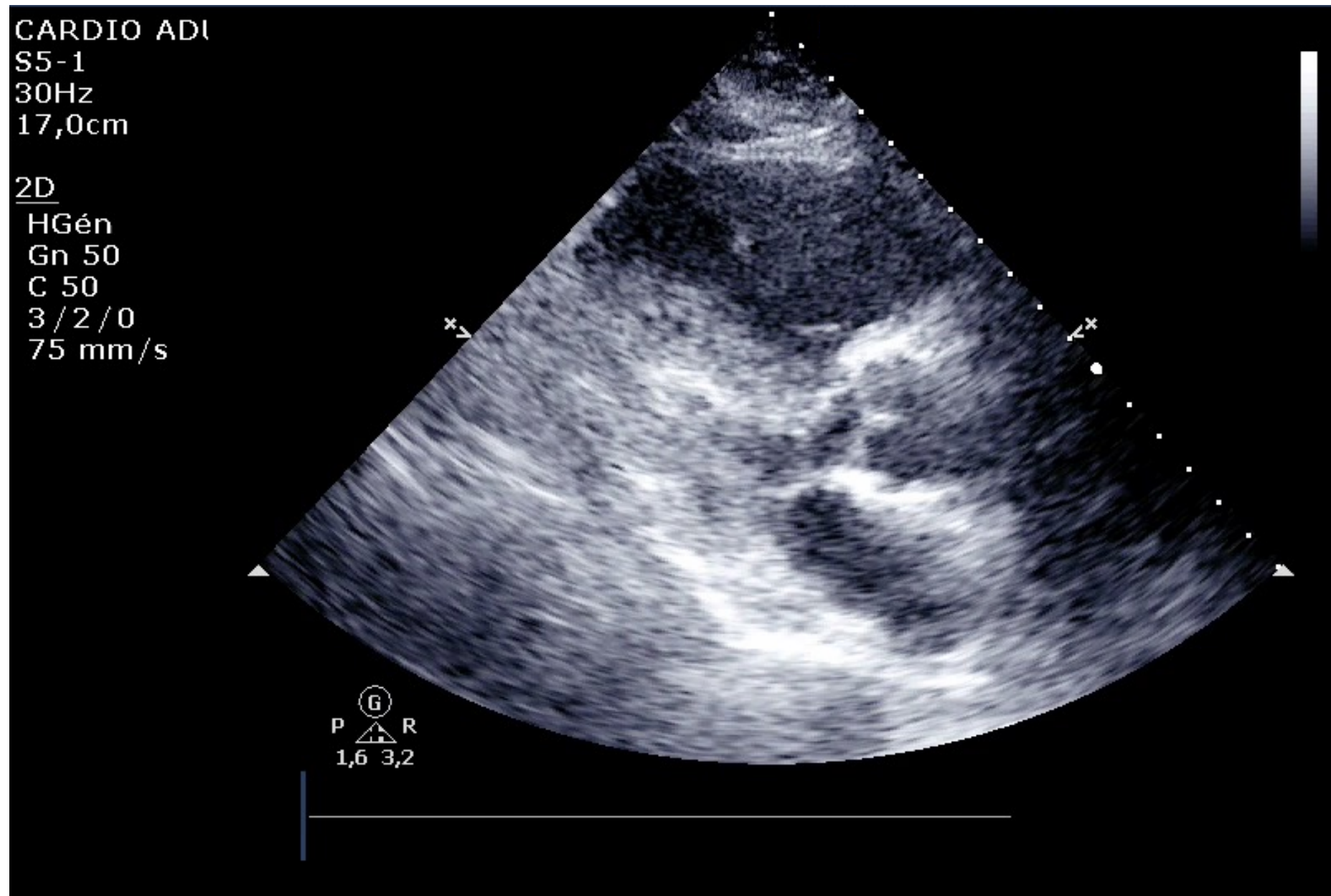
Systolic overload : septum paradoxal



Systolic overload : septum paradoxal

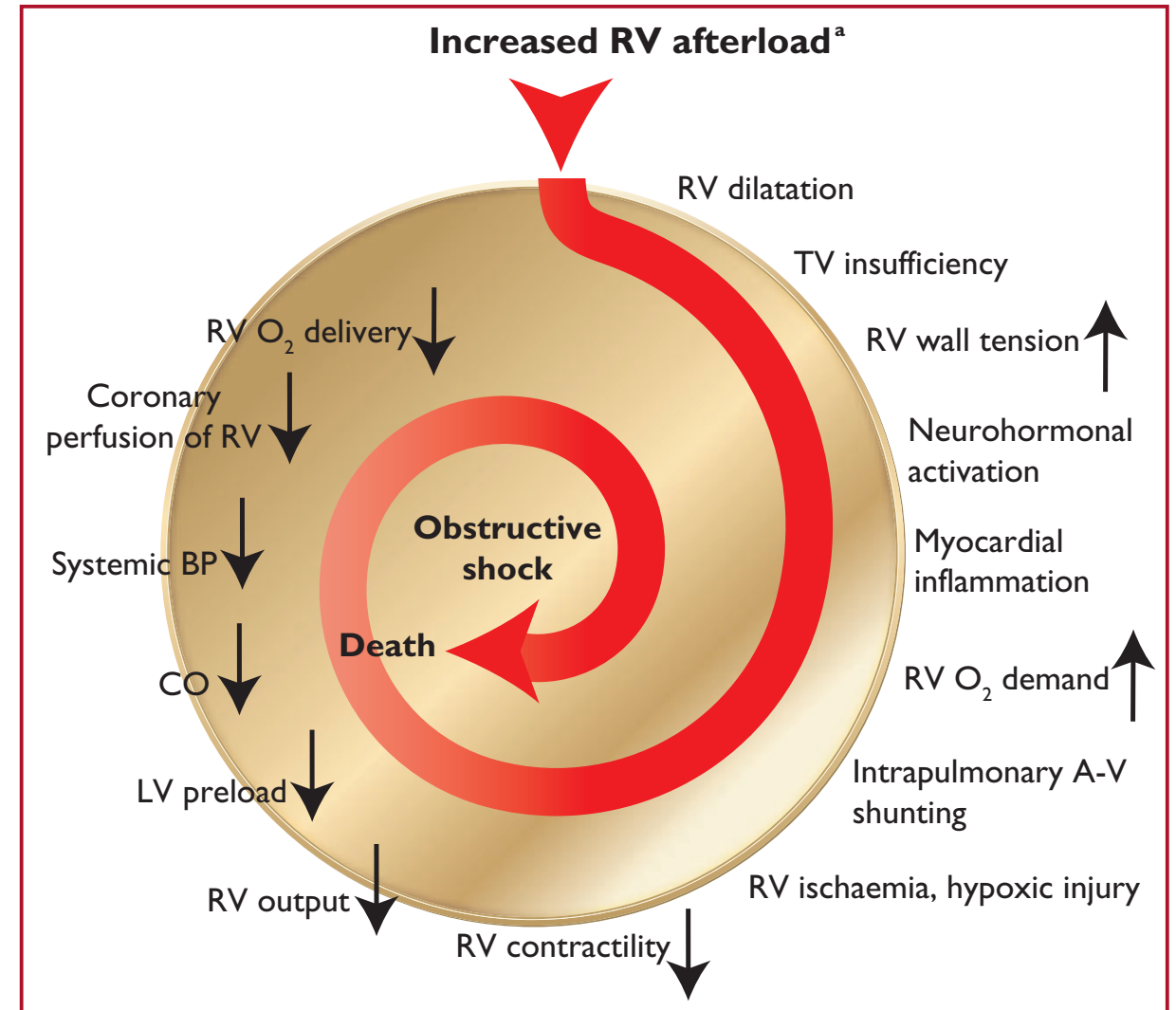


Systolic overload : septum paradoxal



Diagnostics principaux

- Embolie Pulmonaire
- Pneumopathie hypoxémiante
- Syndrome de Détresse Respiratoire Aigue
- Iatrogène = Ventilation mécanique



Diagnostics anecdotiques

- Asthme aigu grave
- STA du drépanocytaire

(60% HTP compliquée de 13% CPA)

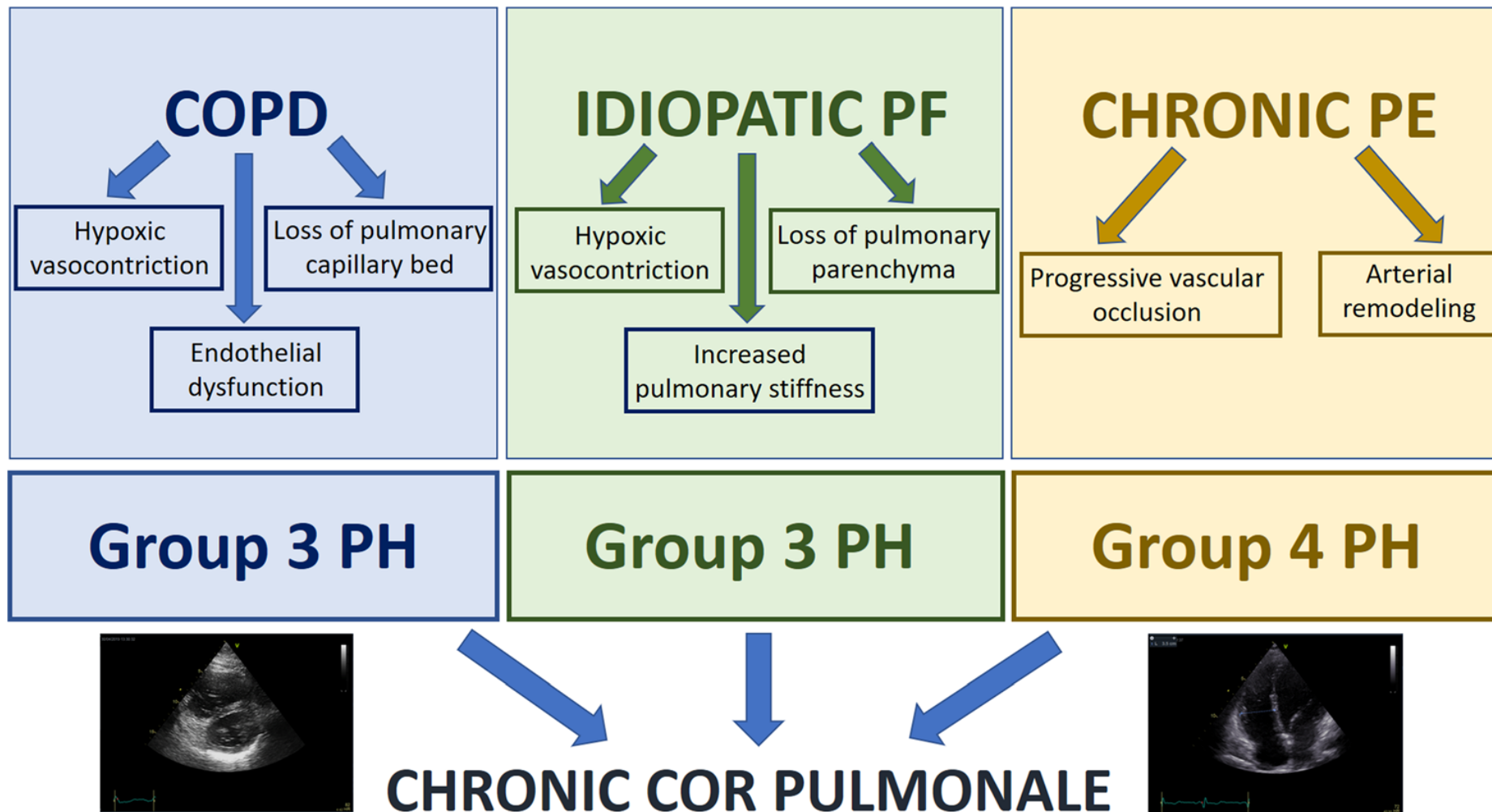
- Acidose lactique primitive

Associés à la ventilation mécanique (PP)

- Cardiomyopathie septique
- IDM étendu au VD
- Cardiopathies VD secondaires aux assistance coeur

Évènement intercurrent aigu sur HTP chronique

Cœur Pulmonaire Chronique





POURQUOI ?

Time to Add a Fifth Pillar to Bedside Physical Examination

Inspection, Palpation, Percussion, Auscultation, and Insonation

Jagat Narula, MD, PhD; Y. Chandrashekhar, MD; Eugene Braunwald, MD

Etat de Choc

Dyspnée

**Embolie
Pulmonaire**

CPA

HTAP / EP

Dysfonction VD

Time to Add a Fifth Pillar to Bedside Physical Examination

Inspection, Palpation, Percussion, Auscultation, and Insonation

Jagat Narula, MD, PhD; Y. Chandrashekhar, MD; Eugene Braunwald, MD

Etat de Choc

CPA

CHRONIQUE

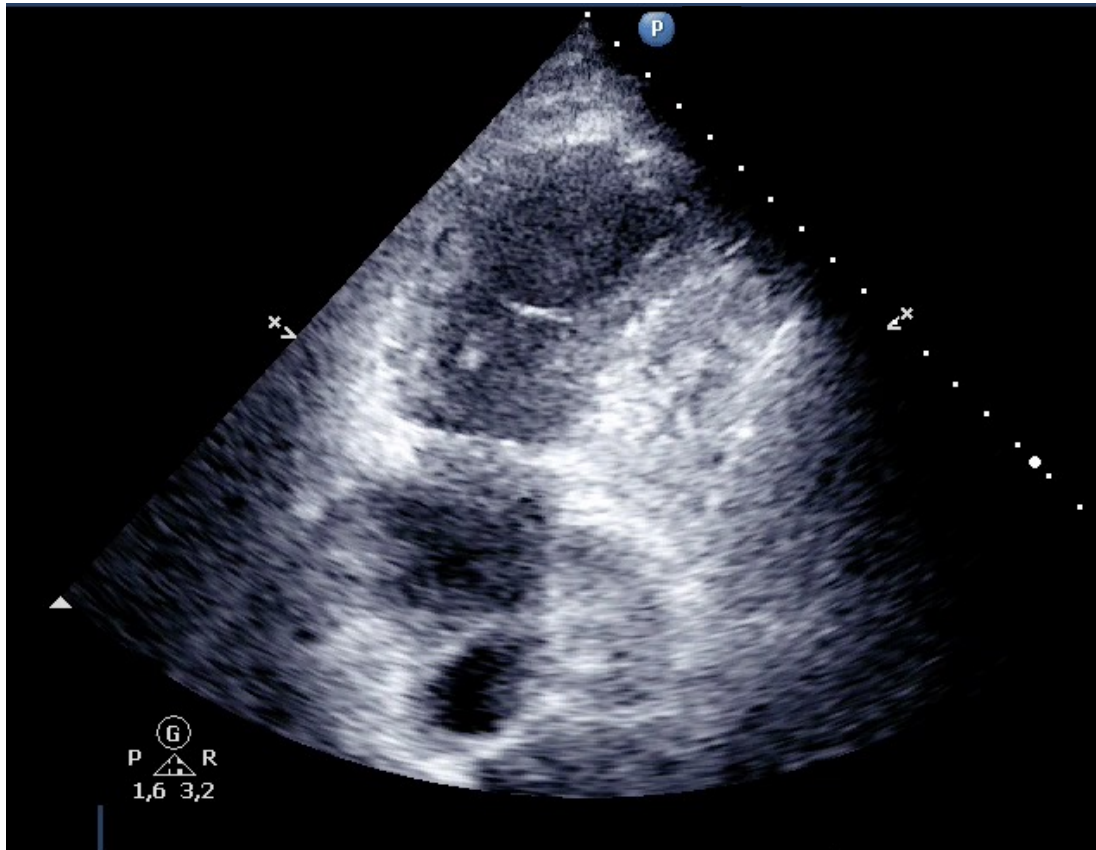


AIGUË

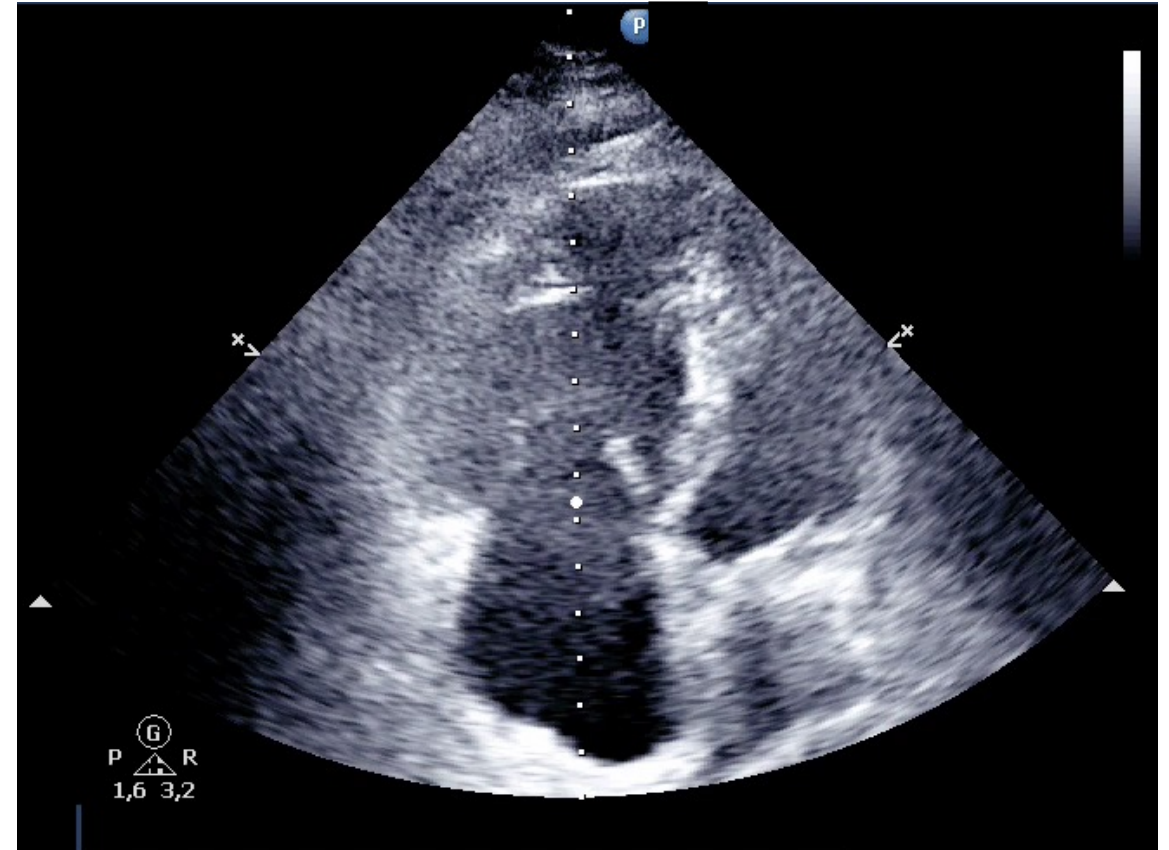


Cœur Pulmonaire

Etat de choc



CHRONIQUE







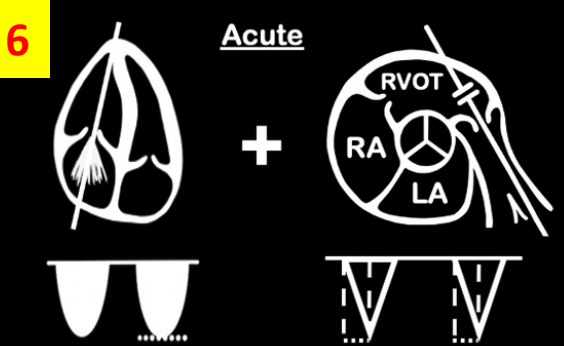
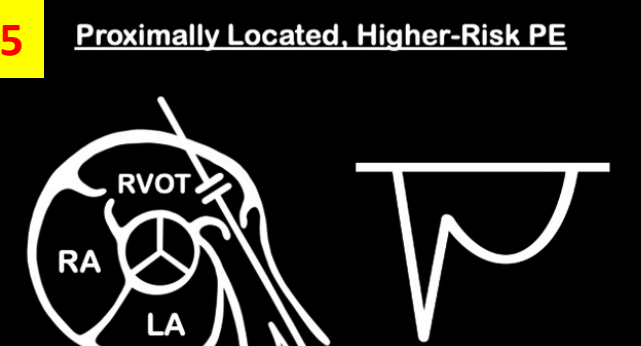
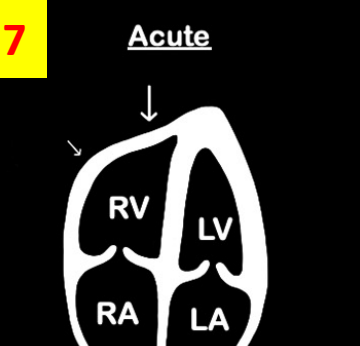
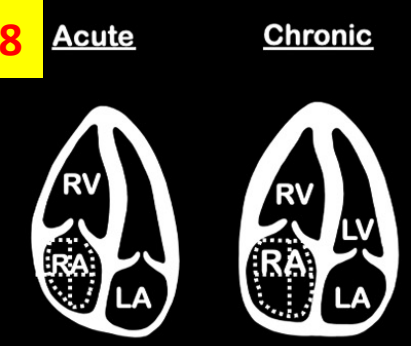
AIGUE

Hypertension Pulmonaire Aiguë ou Chronique ??

Linda Qiu MD

ACUTE PULMONARY EMBOLISM VS CHRONIC PULMONARY HYPERTENSION

Stephen Alerhand MD

RIGHT HEART THROMBUS	RIGHT VENTRICULAR FREE WALL THICKNESS	TRICUSPID REGURGITATION PRESSURE GRADIENT	PULMONARY ARTERY ACCELERATION TIME
<p>1 <u>Acute</u></p> 	<p>2 <u>Acute</u> <u>Chronic</u></p>  <p>$\leq 5 \text{ mm}$ $> 5 \text{ mm}$</p>	<p>3 <u>Acute</u> <u>Chronic</u></p>  <p>$\leq 46 \text{ mmHg}$ ($\leq 3.4 \text{ m/sec}$) $4 \times \text{TRV}_{\text{max}}^2$ $> 46 \text{ mmHg}$ ($> 3.4 \text{ m/sec}$)</p>	<p>4 <u>Acute</u> <u>Chronic</u></p>  <p>$\leq 60 - 80 \text{ msec}$ $< 105 \text{ msec}$</p>
<p>6 <u>Acute</u></p> <p>60 / 60 SIGN</p>  <p>TRPG $\leq 60 \text{ mmHg}$ PAAT $\leq 60 \text{ msec}$</p>	<p>5 <u>Proximally Located, Higher-Risk PE</u></p> 	<p>7 <u>Acute</u></p> <p>MCCONNELL'S SIGN</p> 	<p>8 <u>Acute</u> <u>Chronic</u></p> <p>RIGHT ATRIAL ENLARGEMENT</p>  <p>RA = LA RA $>$ LA</p>

1 - Thrombus intra-cavitaire droit

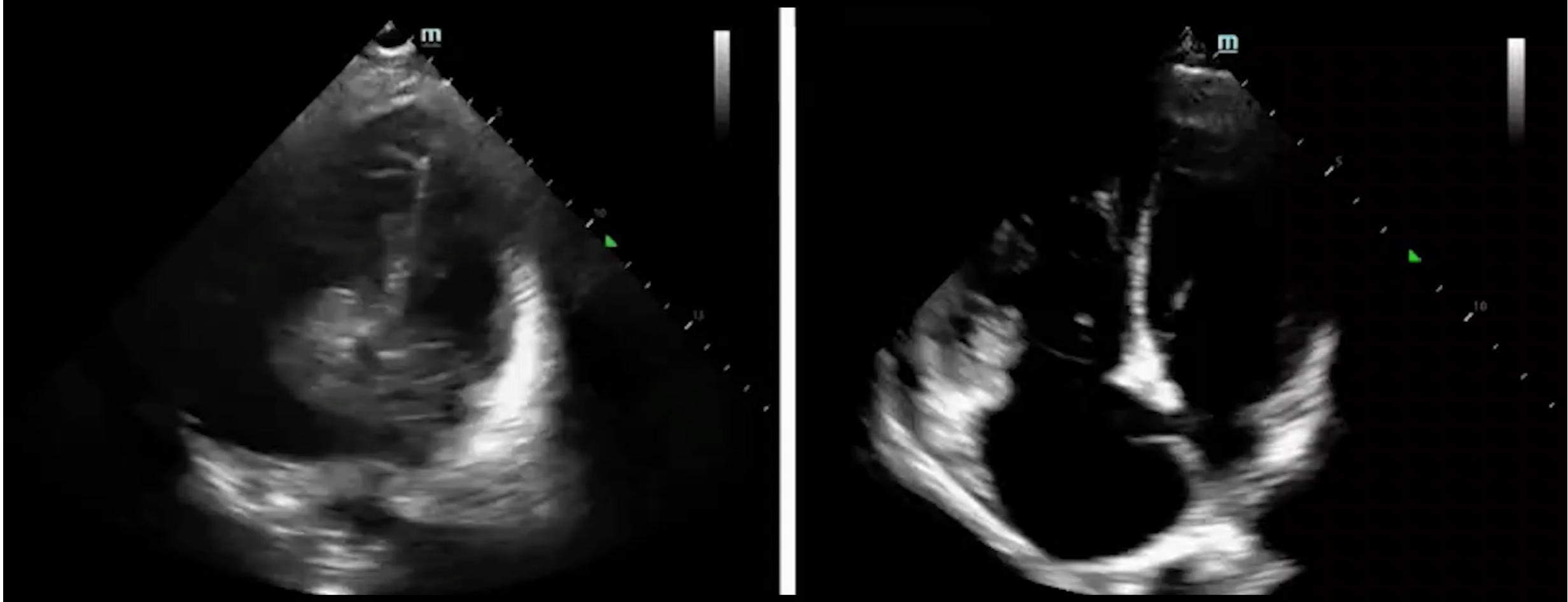


- Masse longue, fine, flottante et vermiforme
- Peut se déplacer au travers la valve tricuspide ou pulmonaire au cours du cycle cardiaque
- Sensibilité : 4,7 à 5 %
- Spécificité : 99 à 100 %
- HD instables : prévalence de 16 à 19%

Falster et al. Thorax 2022

Kurnicka et al. JASE 2016

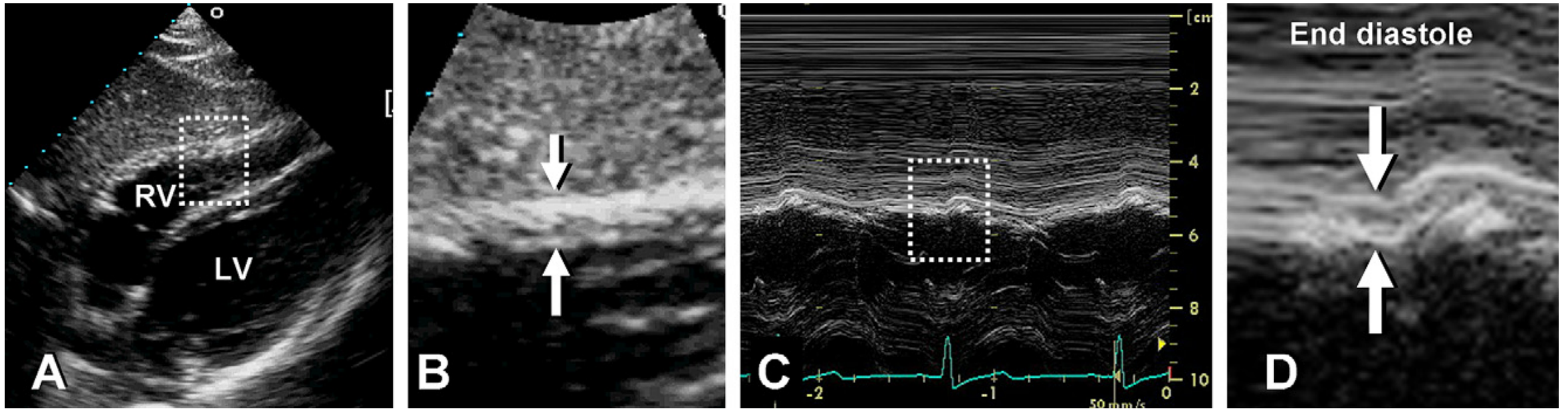
1 - Thrombus intra-cavitaire droit



1 - Thrombus intra-cavitaire droit



2 - Epaisseur de la paroi libre du VD

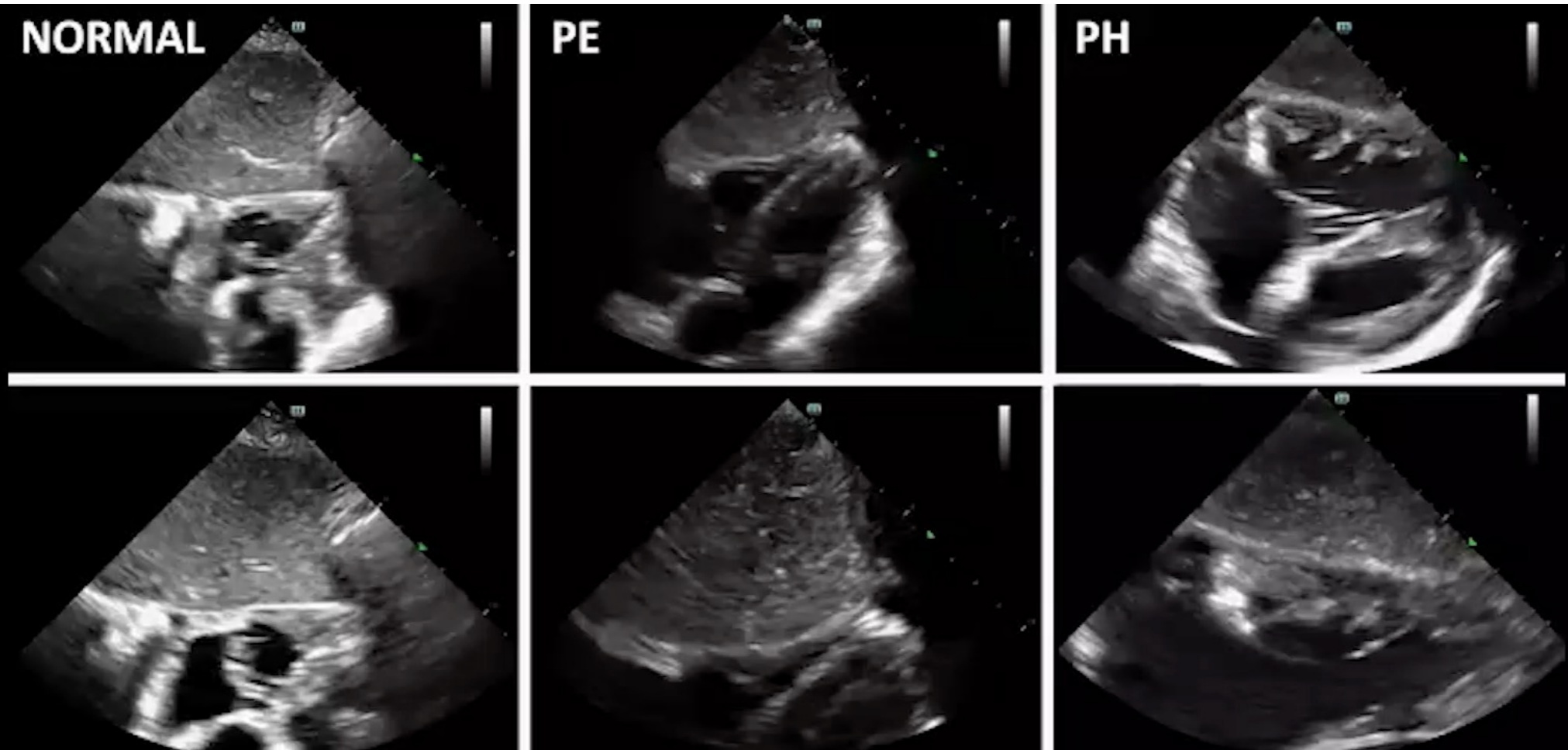


Epaisseur paroi VD < 6 mm

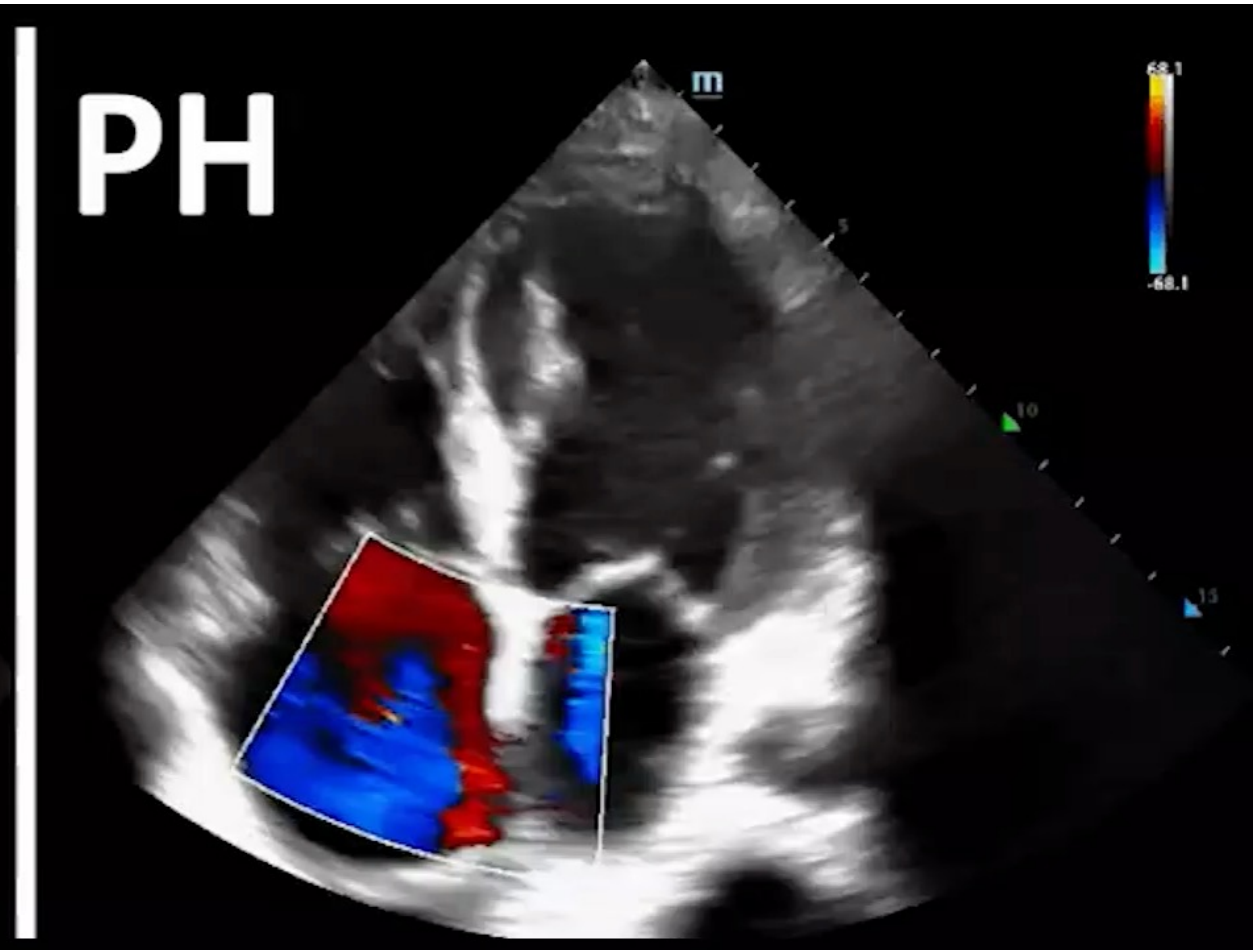
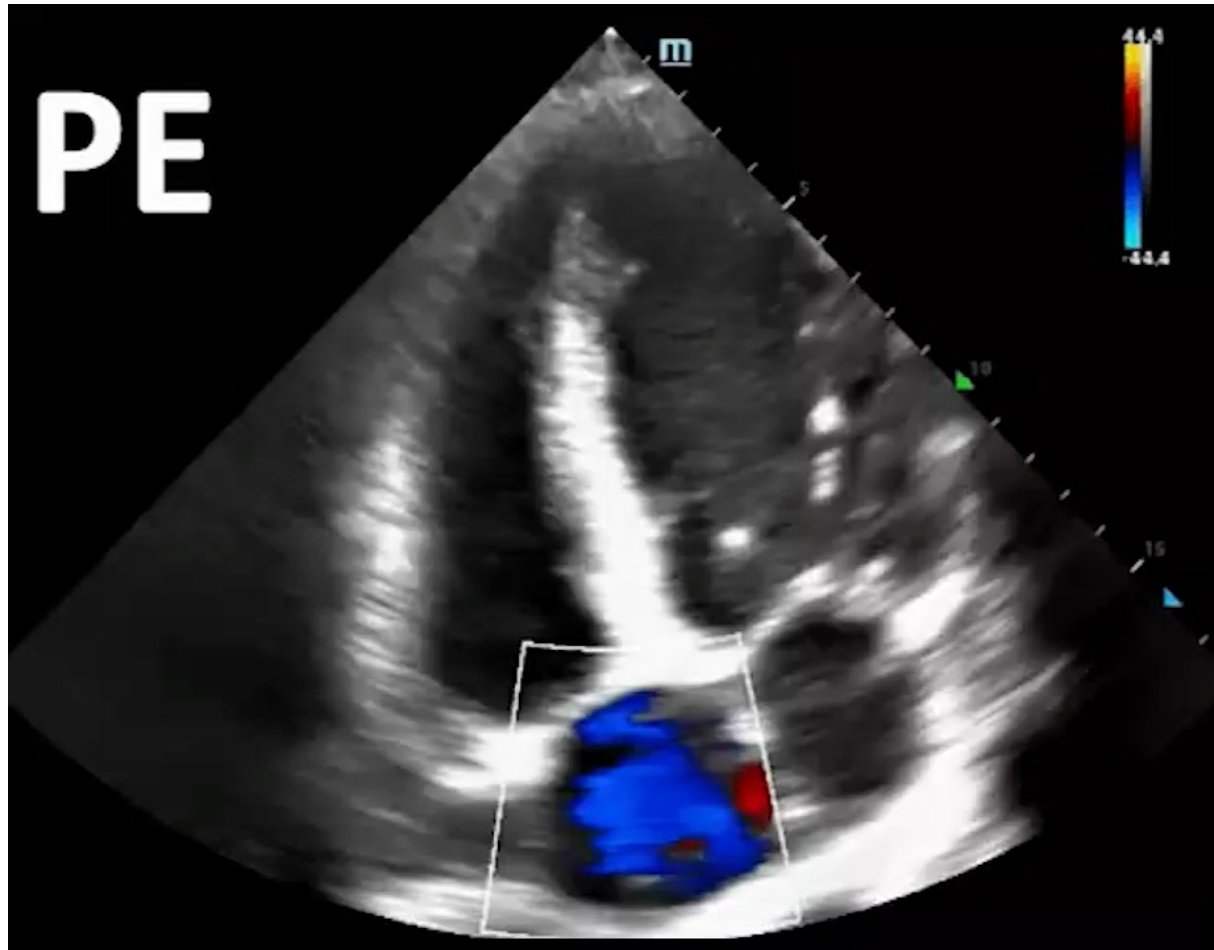
Loi de Laplace : $\text{stress mural} = (P^\circ \text{ ventriculaire} \times \text{rayon}) / (2 \times \text{épaisseur paroi})$

Sensibilité : 90 à 93 %
Spécificité : 94 à 95 %

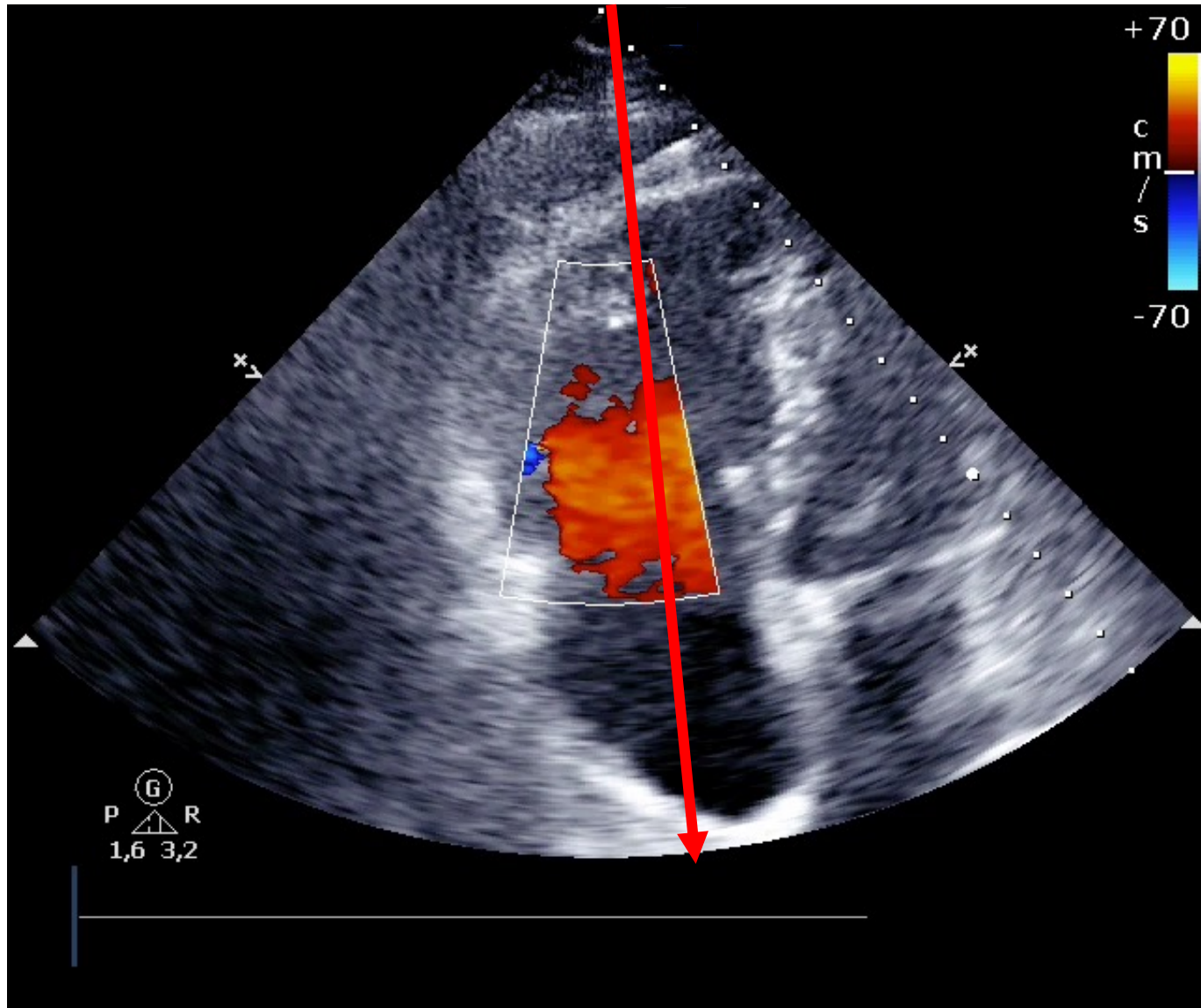
2 - Epaisseur de la paroi libre du VD



3 - Régurgitation Tricuspidale

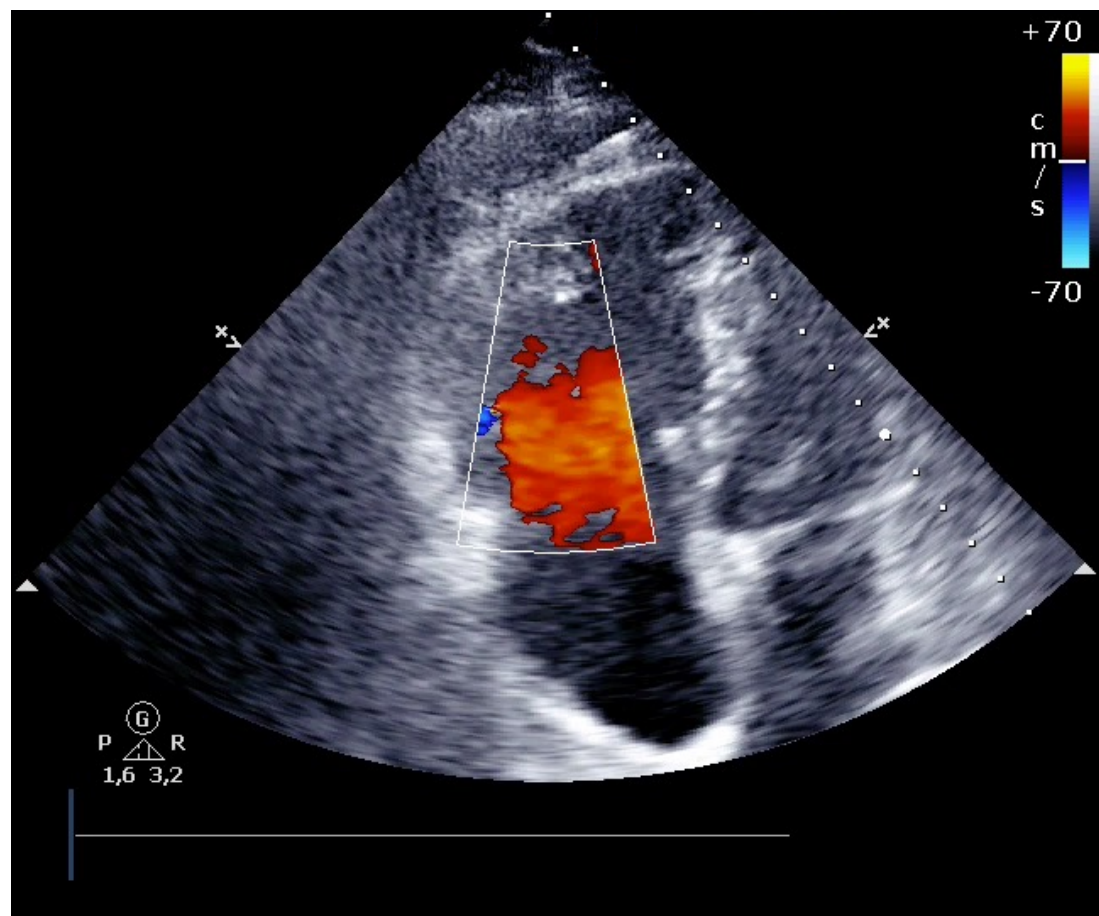


3 - Régurgitation Tricuspidale



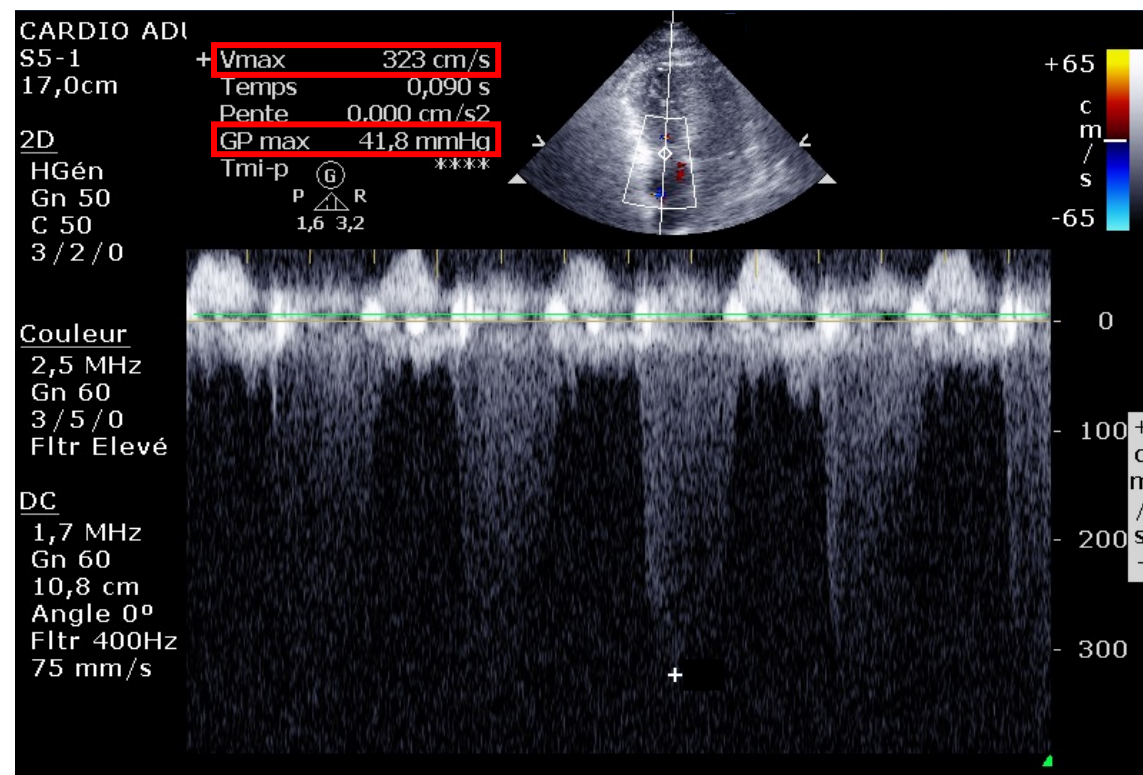
- Coupe apicale 4 cavités centrée sur VD
- **Doppler continu**
- Alignement parallèle de préférence
- Angle de 10° à 20° = sous-estimation de 2 à 6 %
- Angle de 30° à 45° = sous-estimation de 13 à 29%

3 - Régurgitation Tricuspidale



$$\Delta P = 4 \times (V_{\max IT})^2$$

$$PAPs = \Delta P + POD$$



3 - Régurgitation Tricuspidale

Doppler Continu sur IT

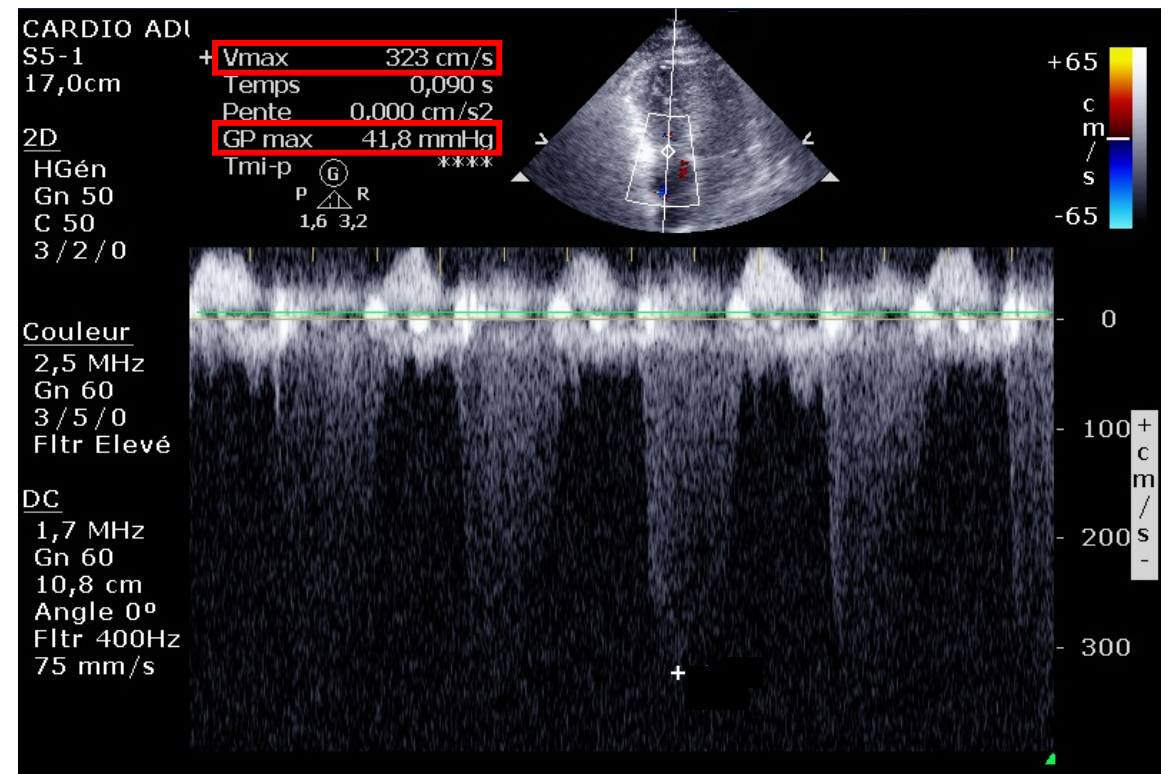
2 infos !

GP max

Vmax

$$\Delta P = 4 \times (V_{\max IT})^2$$

$$PAPs = \Delta P + POD$$



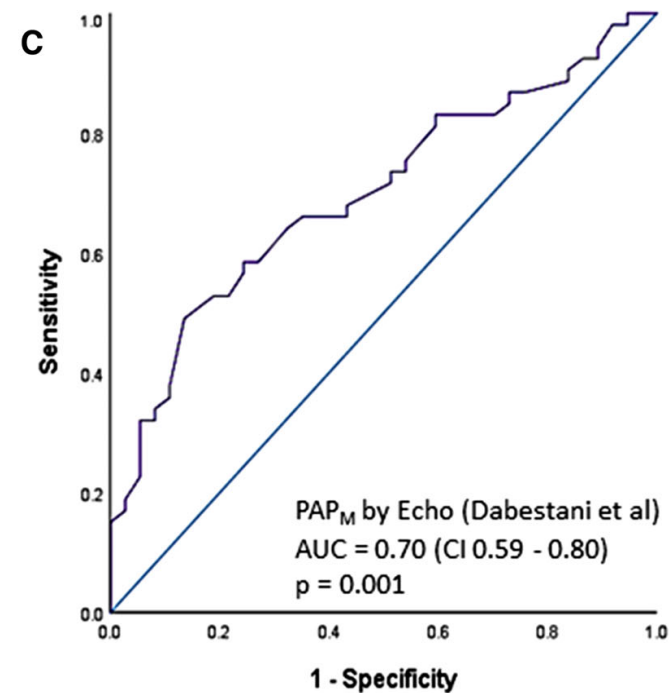
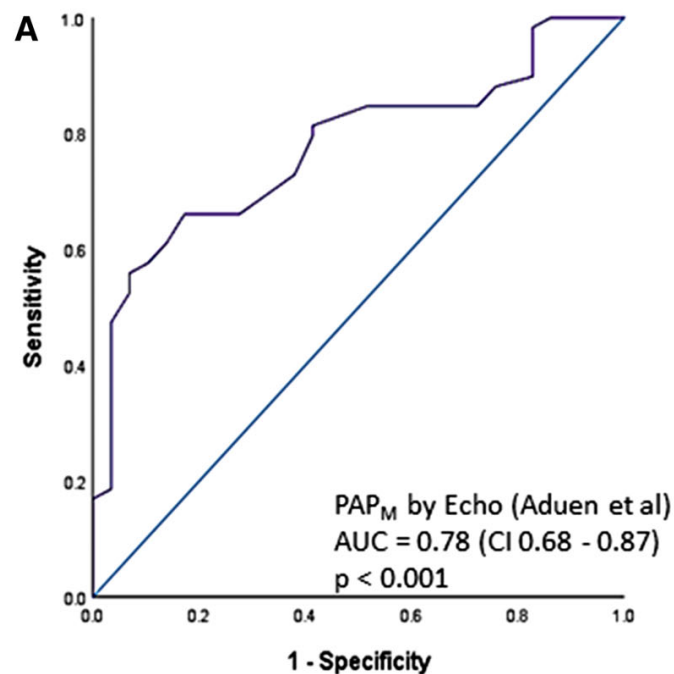
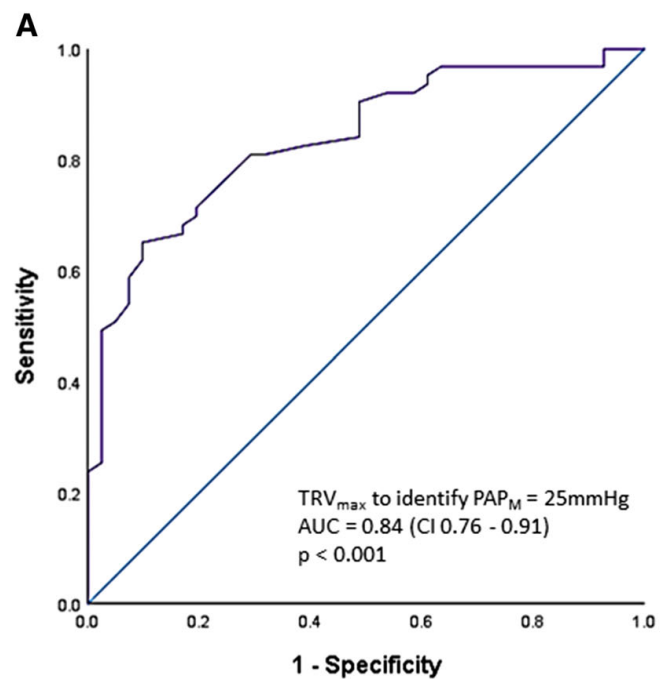
3 - Régurgitation Tricuspidale

$$\Delta P = 4 \times (V_{\max} IT)^2$$

$$PAPs = \Delta P + \text{POD}$$

Diamètre de la VCI (mm)	Variations respiratoires de la VCI (%)	Valeur de POD (mmHg)
Bas < 15	Collapsus inspiratoire de 100%	5
Normal : 15-25	> 50	10
	< 50	15
Elevé > 25	< 50	20
	Absentes	> 20

3 - Régurgitation Tricuspidale



Method	Cut off	Sensitivity (%)	Specificity(%)	Positive predictive value (%)	Negative predictive value (%)
Aduen et al.	25 mm Hg	85	38	74	55
Chemla et al.	25 mm Hg	78	67	80	63
Dabestani et al.	25 mm Hg	83	35	63	61
Abbas et al.	25 mm Hg	48	84	86	43
TRV _{max}	2.8 m/sec	83	61	77	69

3 - Régurgitation Tricuspidale

Doppler Continu sur IT

2 infos !

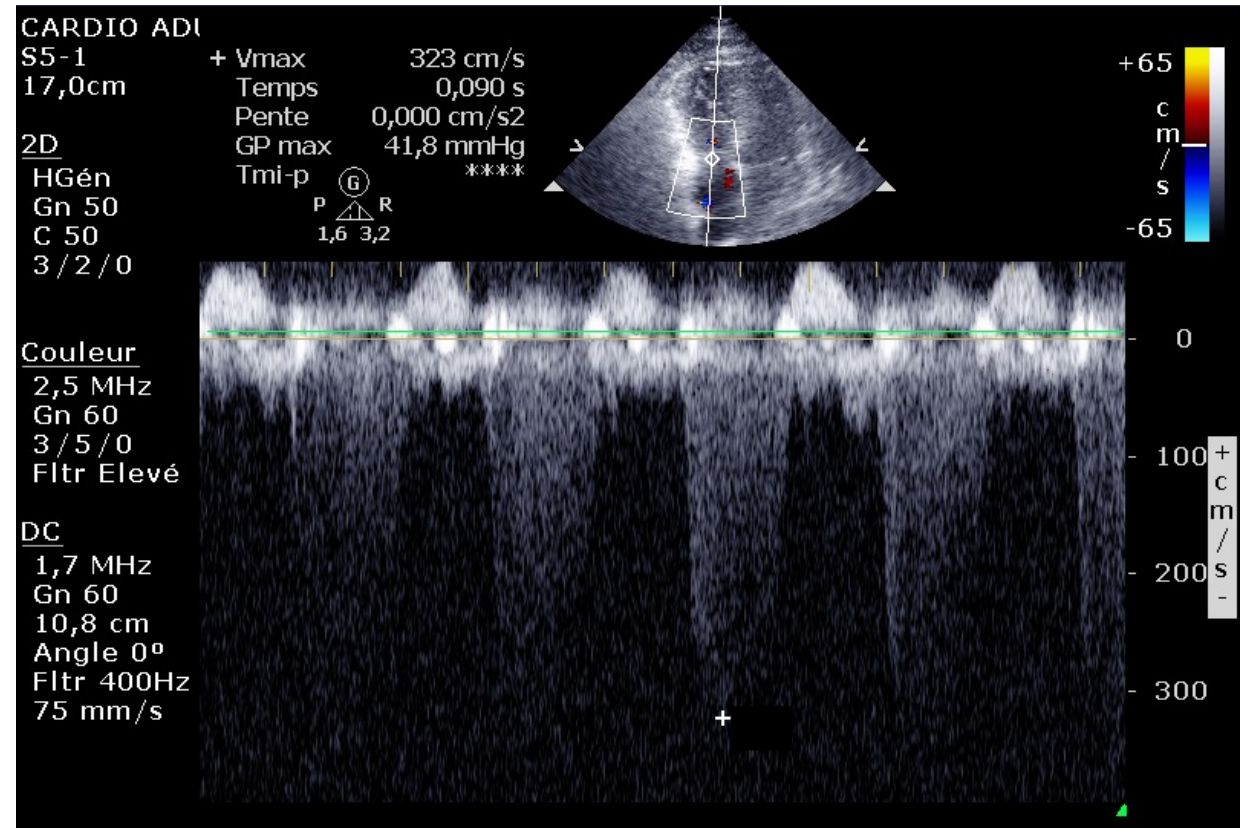
GP max

Vmax

HTP

GP max > 31 – 33 mmHg

Vmax IT > 2,8 à 2,9 m/s



3 - Régurgitation Tricuspidale

HTP

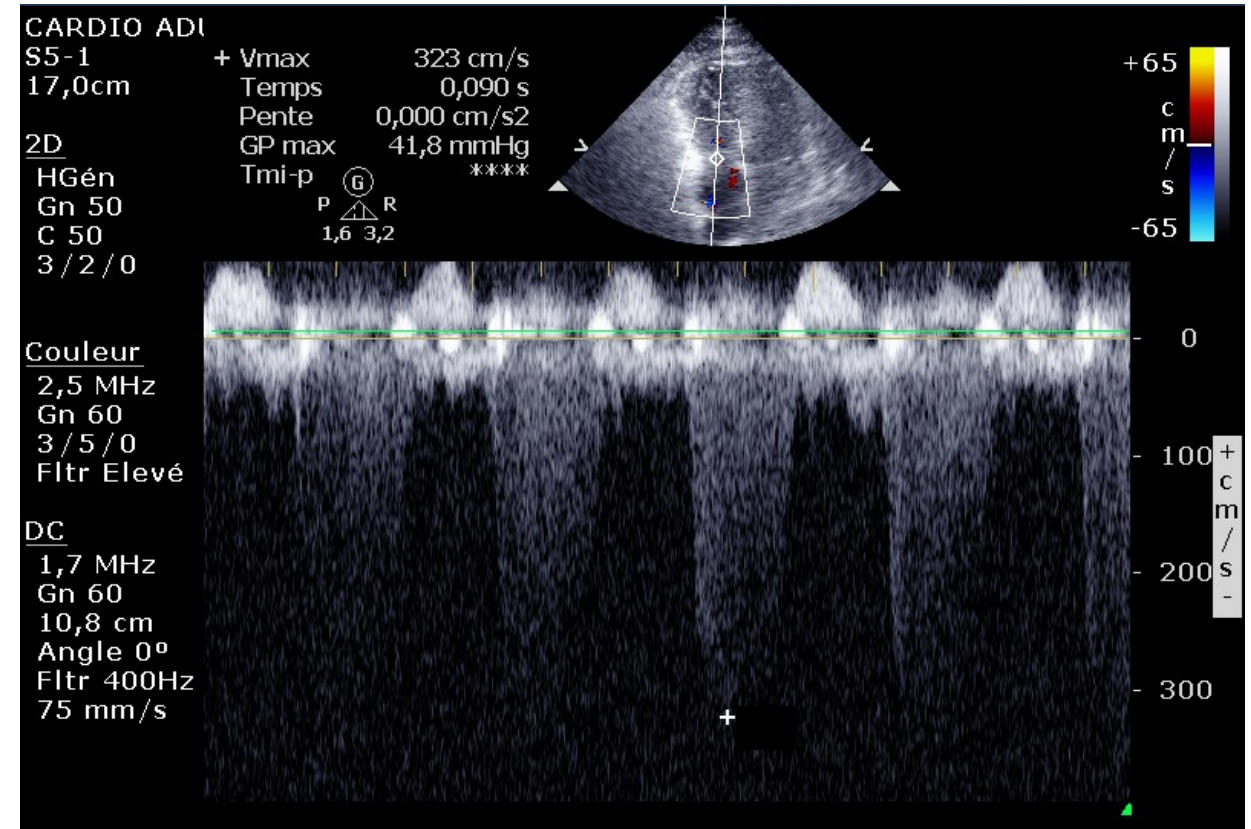
GP max > 31 – 33 mmHg

Vmax IT > 2,8 à 2,9 m/s

HTP chronique

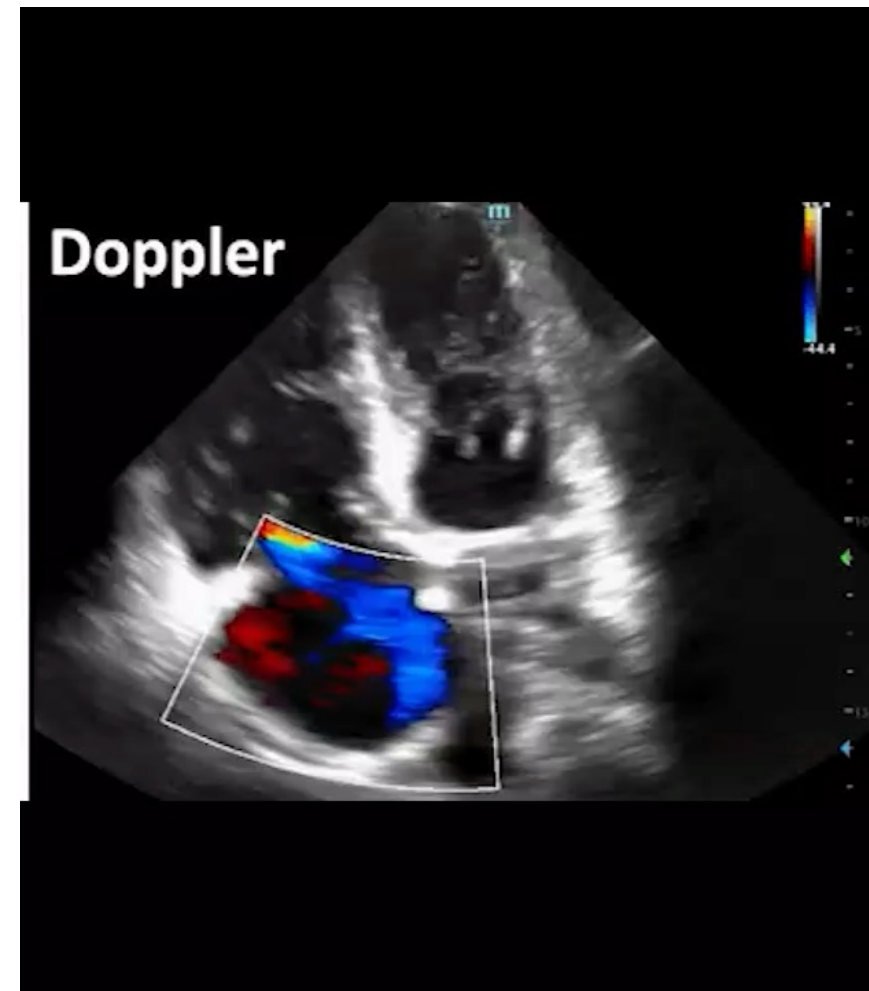
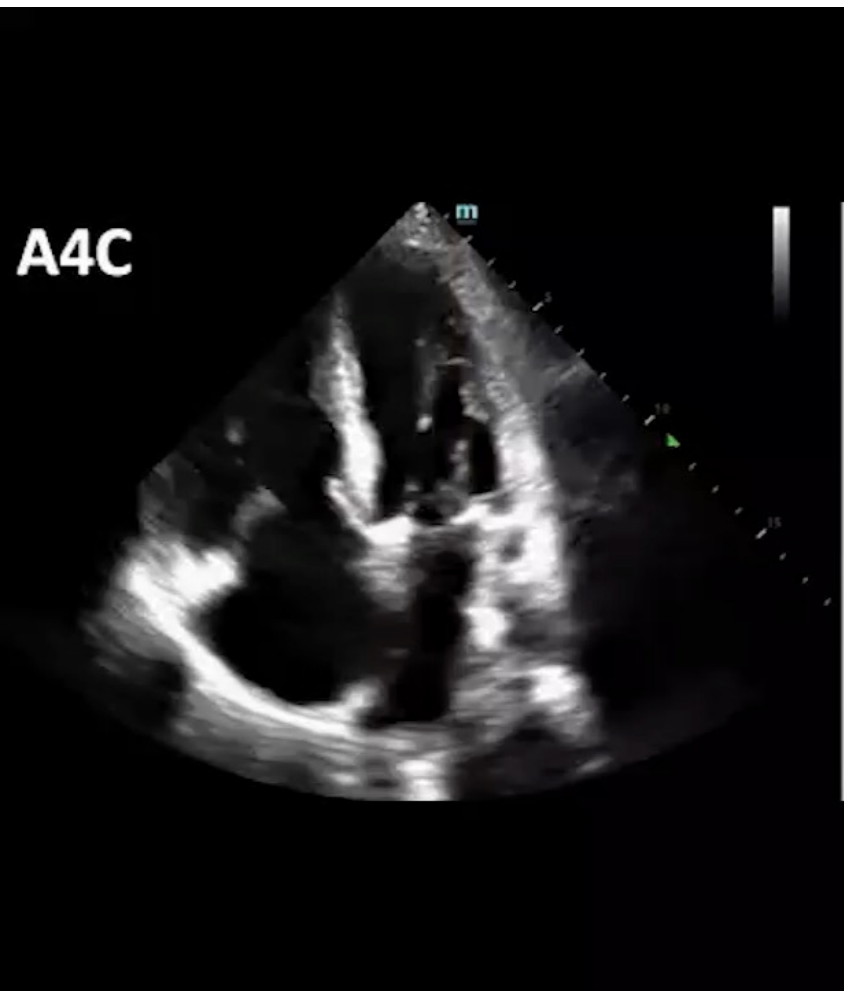
GP max > 46 mmHg

Vmax IT > 3,4 m/s



- Femme de 70 ans
- ATCD : insuffisance cardiaque
- MdH : asthénie
- Constantes :
 - PA 90/47 ;
 - FC 63 bpm ;
 - FR 17 / min ;
 - spO2 93% AA ;
 - T° = 38
- Radio Thorax : pneumonie lobe inférieur droit
- Expansion volémique
- Antibiothérapie probabiliste





$V_{\max} IT = 1,2 \text{ m/s}$

GP max = 5,8 mmHg



$V_{\max} IT = 1,2 \text{ m/s}$

$GP \text{ max} = 5,8 \text{ mmHg}$

RIGHT VENTRICULAR DYSFUNCTION SEVERITY

BASED ON TR JET MORPHOLOGY, TRV_{MAX} , AND TRPG



<u>Normal</u> < 2.8 – 2.9 m/s < 31.4 – 33.6 mmHg	<u>Moderate</u> > 2.9 – 3.6 m/s < 33.7 – 51.9 mmHg	<u>Severe</u> > 3.6 m/s ≥ 52.0 mmHg	<u>Wide-Open</u> < 2.5 m/s < 25 mmHg
Linda Qiu MD			Stephen Alerhand MD

7 - signe de McConnell



Embolie Pulmonaire

Sensibilité : 22 à 29 %

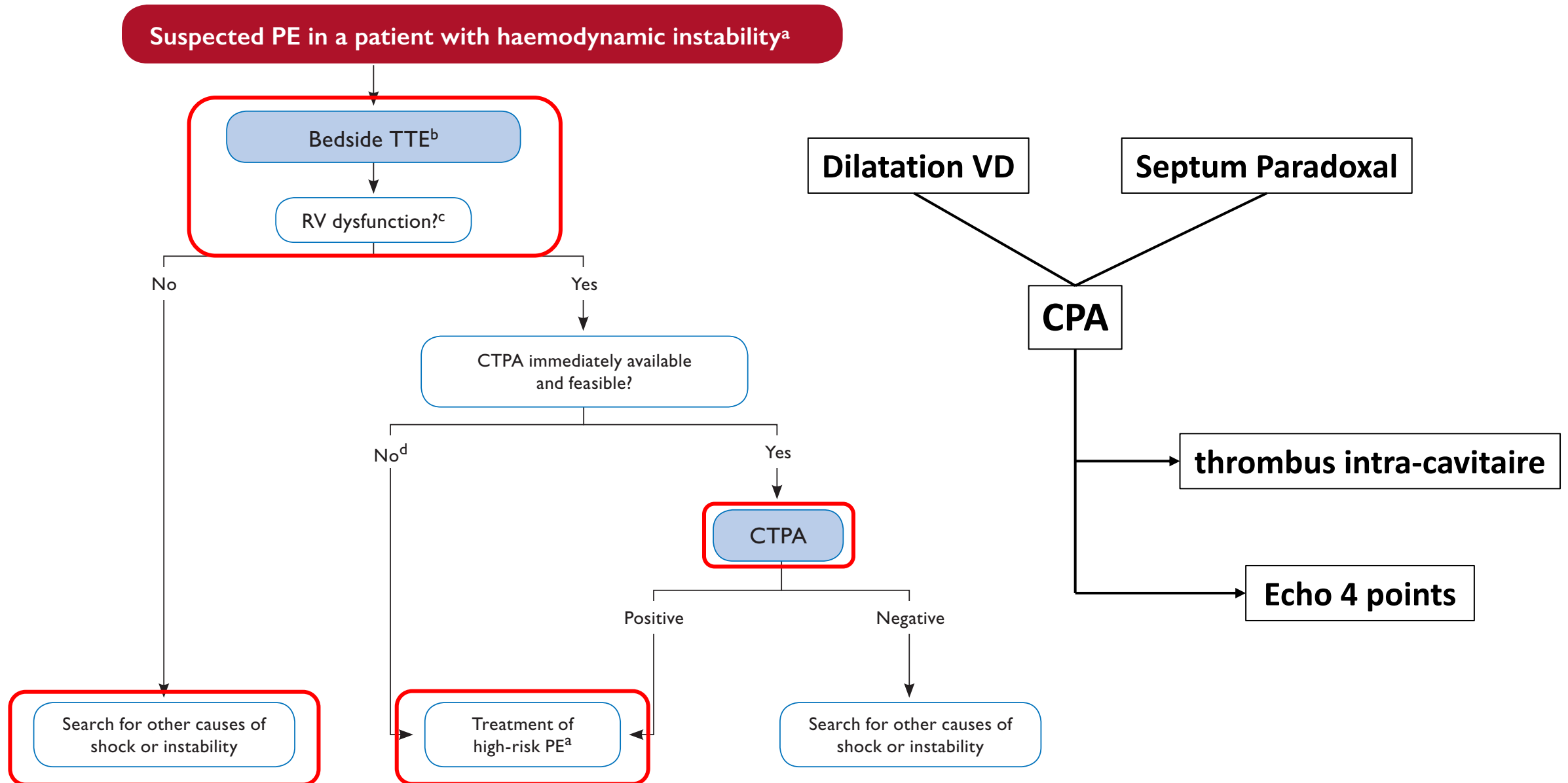
Spécificité : 97 à 99 %

Diagnostics principaux

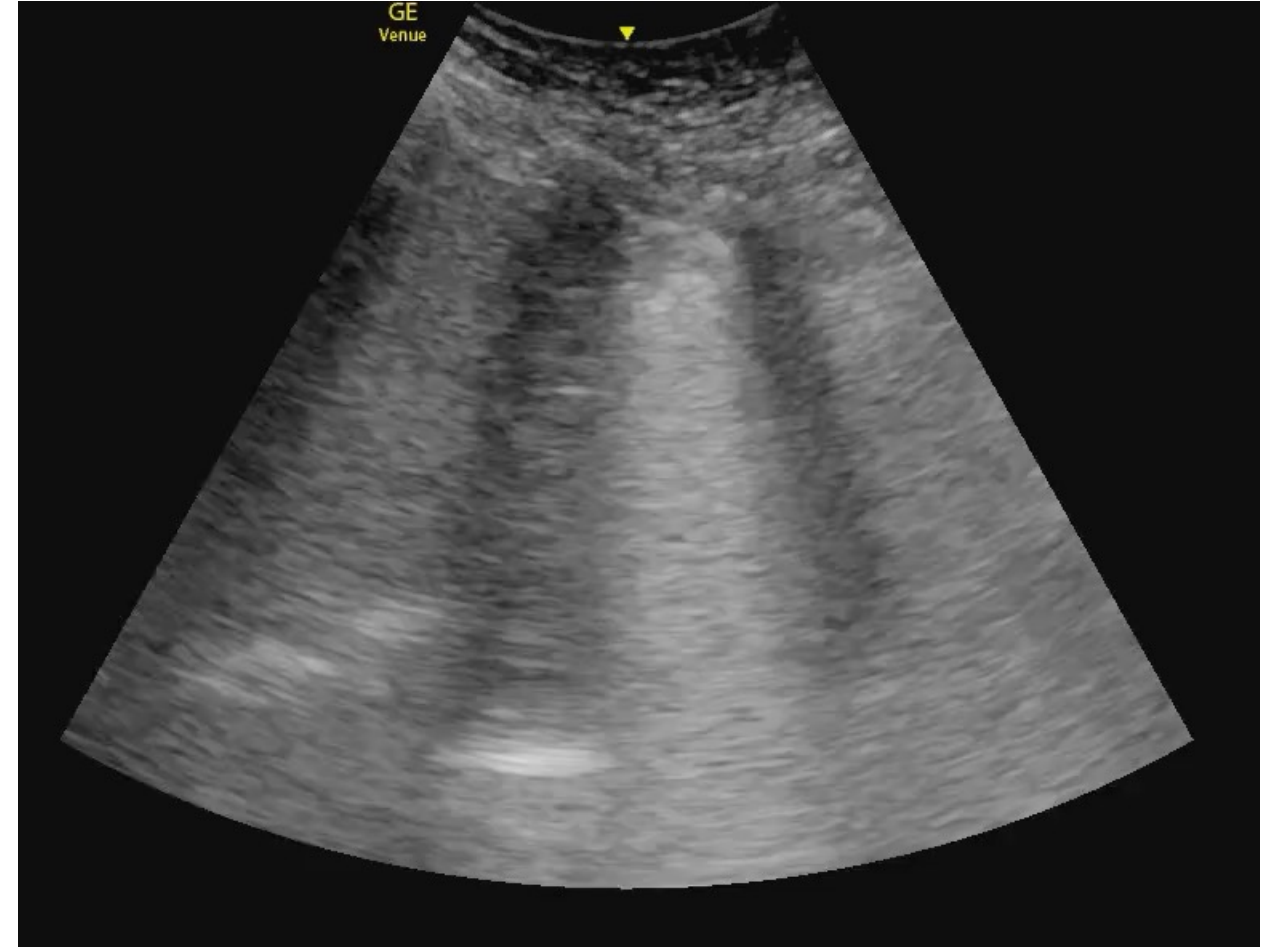
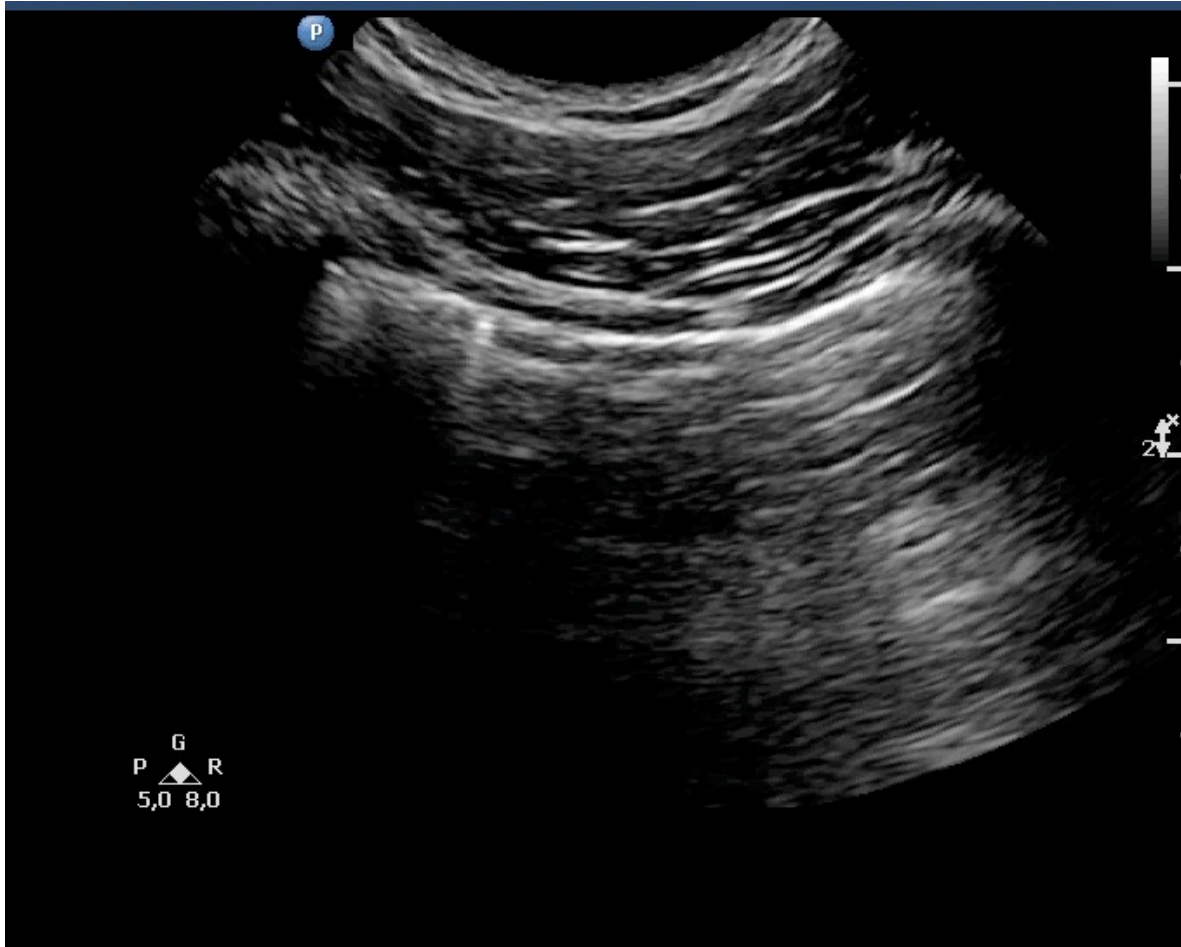
- Embolie Pulmonaire
- Pneumopathie hypoxémiante
- Syndrome de Détresse Respiratoire Aigue
- Iatrogène = Ventilation mécanique



Echo et embolie pulmonaire : **Etat de Choc**



Echo et embolie pulmonaire : **Etat de Choc**



Time to Add a Fifth Pillar to Bedside Physical Examination

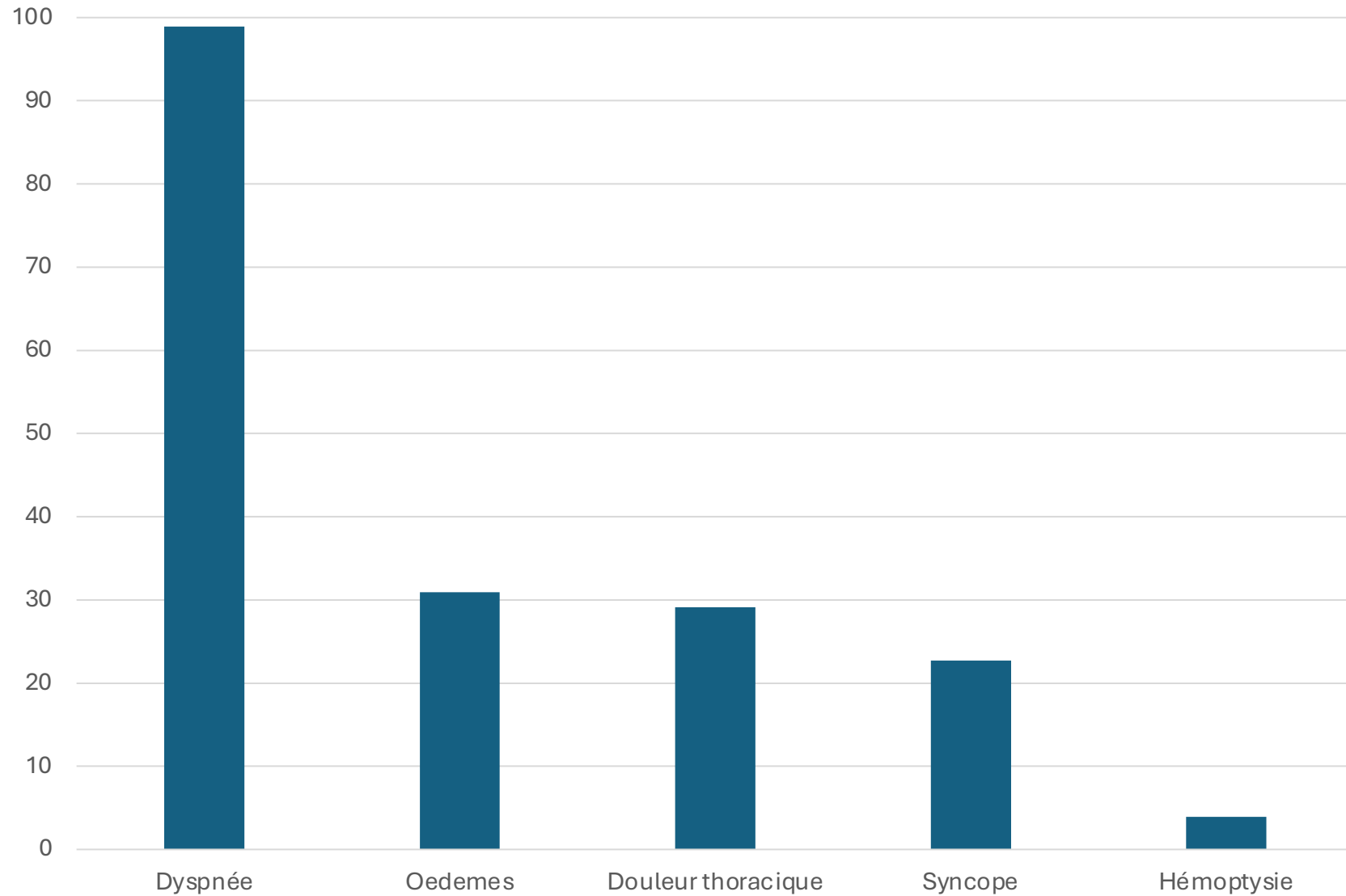
Inspection, Palpation, Percussion, Auscultation, and Insonation

Jagat Narula, MD, PhD; Y. Chandrashekhar, MD; Eugene Braunwald, MD

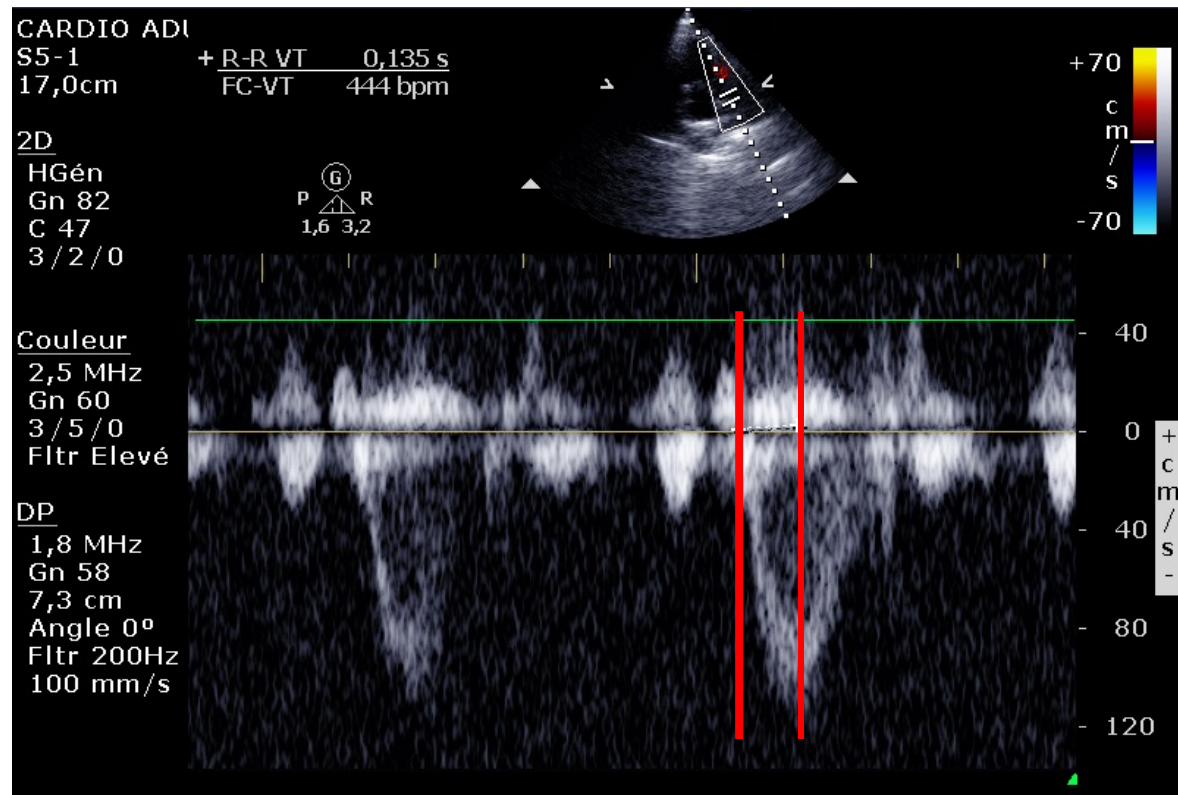
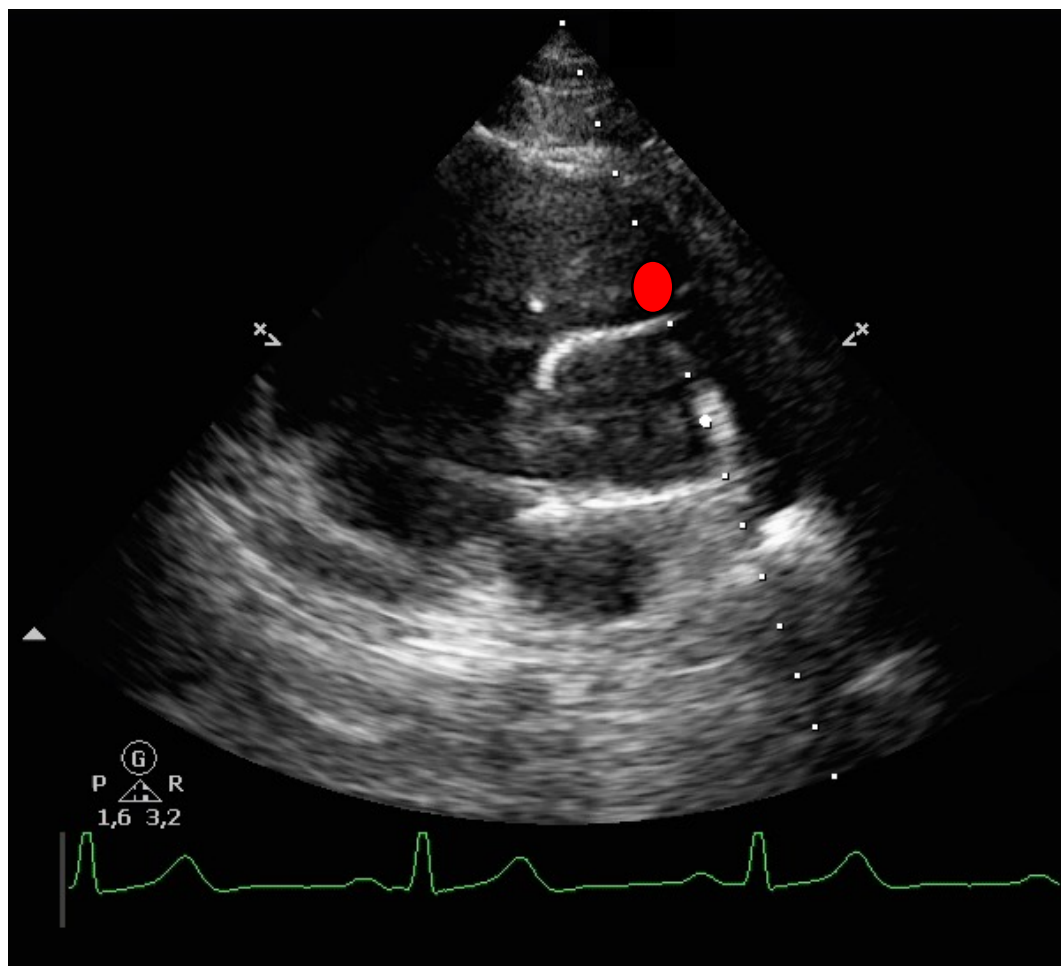
Dyspnée

HTAP / EP

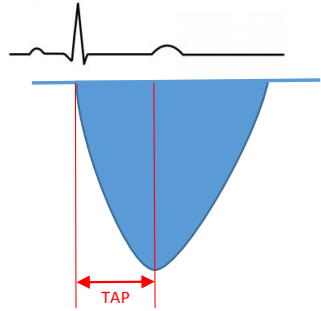
HTAP et Dyspnée



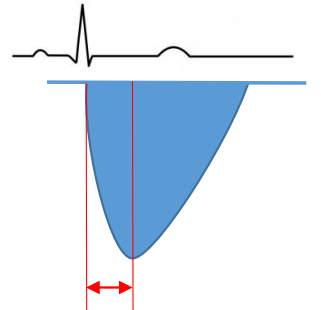
Flux d'éjection pulmonaire



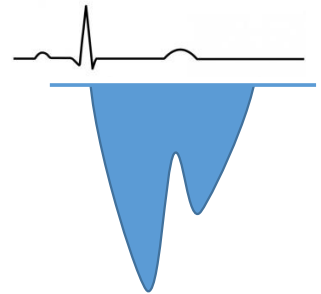
Flux d'éjection pulmonaire



Flux normal



HTAP modérée



HTAP sévère

Flux pulmonaire

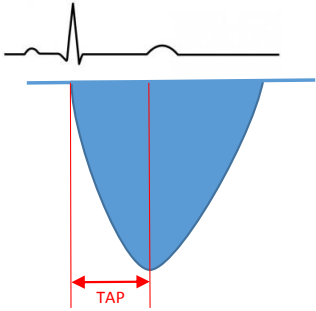
- normal = en dôme, pic mésosystolique
- HTP = pic précoce ou dédoublé

TAP = Temps d'Accélération Pulmonaire = Tacc

- normal = 120 à 160 ms
- HTP si ≤ 100 ms
- HTP sévère si < 60 ms

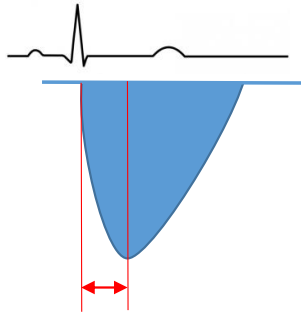
Intérêt pour **VPN +++**

Flux d'éjection pulmonaire



Flux normal

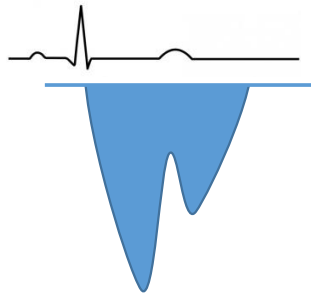
$$\text{HTP} = \text{Tacc} < 100 \text{ ms}$$



HTAP modérée

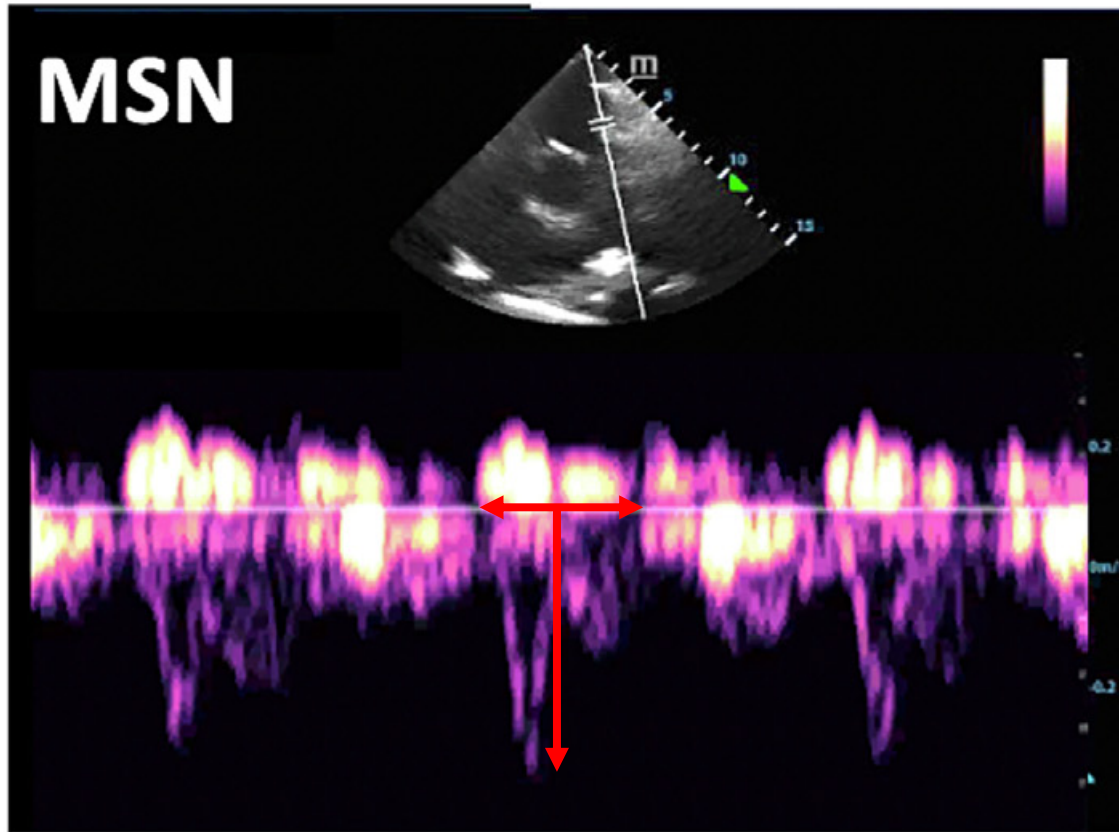
$$\text{HTP chronique} = \text{Tacc} < 105 \text{ ms}$$

$$\text{HTP aiguë} = \text{Tacc} \leq 60 - 80 \text{ ms}$$



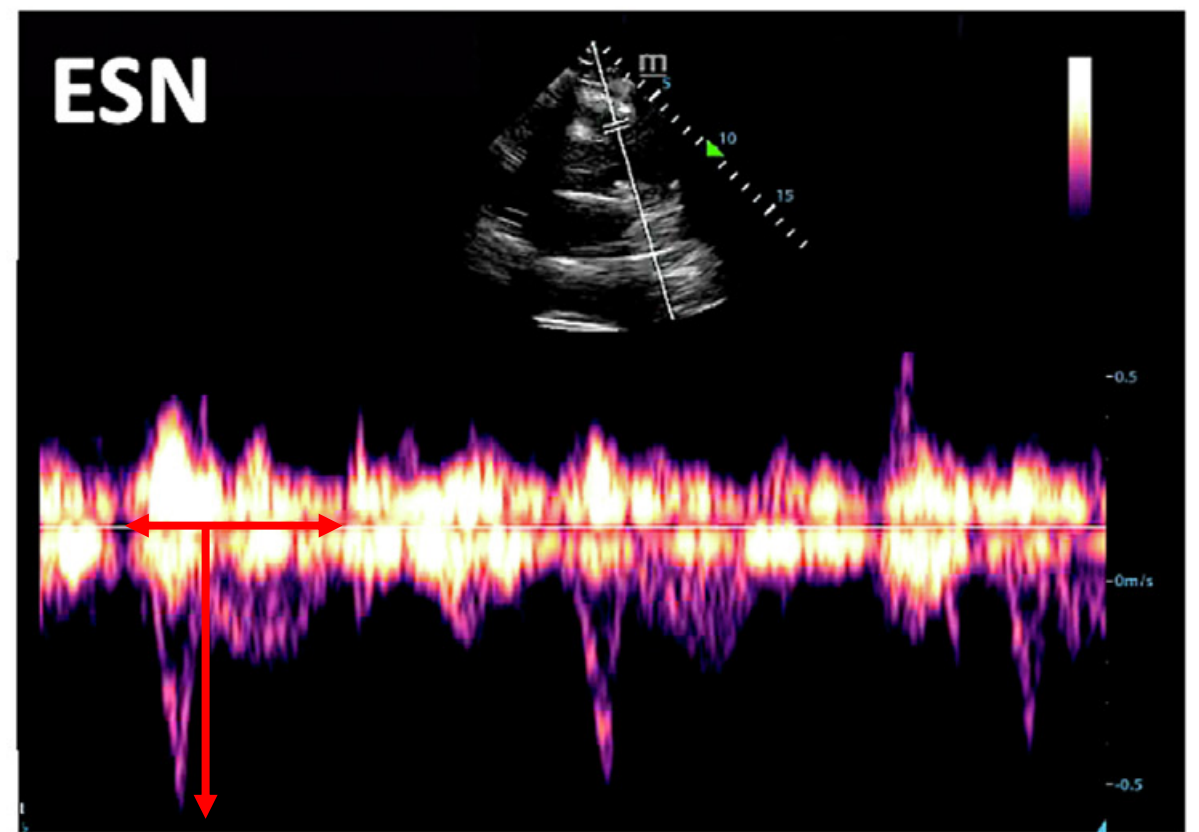
HTAP sévère

Spike-and-dome



EP à faible risque (périphérique)

HTP chronique



EP à haut risque (proximale)

Embolie Pulmonaire
Sensibilité : 34 à 75 %
Spécificité : 99 à 100 %

EP à haut risque
Sensibilité : 69 à 97 %
Spécificité : 90 à 99 %

Echo et embolie pulmonaire : **Patient stable**



Echo et embolie pulmonaire : **Patient stable**

Variable	All (n=232)	PE (n=51)	Non-PE n=181)	P value
EF %	57.8 ± 6	58.7 ± 3	57.6 ± 7	0.2
LA Volume	71.9 ± 41	60.5 ± 32	75.2 ± 43	0.01
RA area	17 ± 6	17 ± 7	17 ± 6	0.8
LVEDD cm	4.7 ± 0.7	4.7 ± 0.7	4.7 ± 0.7	0.8
LVESD cm	2.8 ± 0.7	2.7 ± 0.7	2.8 ± 0.7	0.5
LV mass gr	177 ± 74	175 ± 70	177 ± 75	0.9
Stroke volume cc	47.4 ± 18	45.7 ± 14	47.9 ± 18	0.4
Stroke volume index	26.1 ± 9	25.0 ± 6	26.3 ± 9	0.3
E'	5.9 ± 2.1	5.5 ± 2.8	6.1 ± 1.8	0.6
E wave	0.84 ± 0.31	0.74 ± 0.22	0.86 ± 0.32	0.006
A wave	0.82 ± 0.24	0.85 ± 0.21	0.81 ± 0.25	0.5
E/A ratio	1.1 ± 0.7	0.9 ± 0.4	1.16 ± 0.7	0.008
SPAP mmHg	37 ± 18	40 ± 20	37 ± 17	0.4
RIMP	0.37 ± 0.2	0.4 ± 0.3	0.4 ± 0.3	0.7
RV end diastolic area cm2	15.5 ± 5	15.5 ± 5	15.5 ± 5	0.9
RV end systolic area cm2	9.3 ± 4	9.2 ± 4	9.2 ± 5	0.9
RV fractional area change	42 ± 11	42 ± 11	42 ± 12	0.7
Declaration time, msec	200 ± 64	190 ± 65	204 ± 63	0.2
PA diameter	2.6 ± 2	2.5 ± 0.4	2.6 ± 2	0.7
AT ms	96.5 ± 28	85 ± 29	100 ± 27	0.01
AT/RR interval	129 ± 48	119 ± 49	131 ± 47	0.1
RV end diastolic diameter cm	3.2 ± 0.8	3.2 ± 0.7	3.2 ± 0.8	0.4
LV end diastolic diameter cm	4.1 ± 0.7	4 ± 0.7	4.1 ± 0.7	0.4
RVEDD/LVEDD > 0.9	0.7 ± 0.2	0.7 ± 0.2	0.7 ± 0.2	0.8
LVED/RVED > 0.9	14%	16%	14%	0.7
Sign 60/60	14%	31%	9%	0.0002
IVC expiratory diameter cm	1.8 ± 1.4	1.6 ± 0.5	1.8 ± 1.6	0.2
IVC inspiratory diameter cm	1 ± 1.7	0.9 ± 0.5	1.1 ± 1.9	0.3
RA pressure mmHg	8 ± 4.5	8 ± 4.5	8.5 ± 4.5	0.4
McConnell's sign	14.68%	40%	7.65%	0.001
D sign	11.87%	20.41%	9.41%	0.05

235 patients dyspnéiques

➤ **51 embolies pulmonaires**

- 43 faibles risques
- 4 risques intermédiaires
- 3 risques élevés
- 1 thrombolyse

AUC < 0,7

Echo et embolie pulmonaire : **Patient stable**

Early mortality risk		Indicators of risk			
		Haemodynamic instability ^a	Clinical parameters of PE severity and/or comorbidity: PESI class III–V or sPESI ≥ I	RV dysfunction on TTE or CTPA ^b	Elevated cardiac troponin levels ^c
High		+	(+) ^d	+	(+)
Intermediate	Intermediate–high	-	+ ^e	+	+
	Intermediate–low	-	+ ^e	One (or none) positive	
Low		-	-	-	Assesment optional; if assessed, negative



ESC

European Society
of Cardiology

European Heart Journal (2019) **40**, 902–910
doi:10.1093/eurheartj/ehy873

FASTTRACK CLINICAL RESEARCH

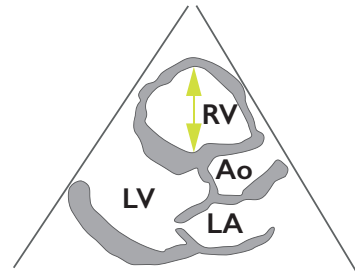
Prognostic value of right ventricular dysfunction or elevated cardiac biomarkers in patients with low-risk pulmonary embolism: a systematic review and meta-analysis

Stefano Barco^{1*}, Seyed Hamidreza Mahmoudpour^{1,2}, Benjamin Planquette^{3,4}, Olivier Sanchez^{3,4}, Stavros V. Konstantinides^{1,5}, and Guy Meyer^{3,4}

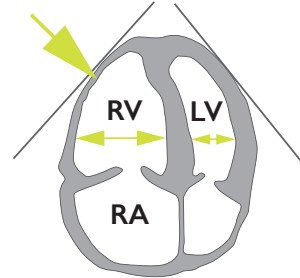
Table 2 Rates of short-term adverse events in low-risk patients with or without imaging and laboratory indicators of right ventricular dysfunction or myocardial injury

	RV dysfunction (exposure)	Study population (n studies)	With RV dysfunction, % (95% CI)	Without RV dysfunction, % (95% CI)
Early all-cause mortality	RV pressure overload (echo/CTPA)	1597 (7)	1.8 (0.9–3.5)	0.2 (0.03–1.7)
	Troponin	1176 (11)	3.8 (2.1–6.8)	0.5 (0.2–1.3)
	BNP/NT-proBNP	—	—	—
Early PE-related adverse outcome	RV pressure overload (echo/CTPA)	1488 (6)	3.7 (0.9–14.4)	0.7 (0.06–6.4)
	Troponin	1137 (8)	10.2 (7.2–14.3)	0.6 (0.1–5.6)
	BNP/NT-proBNP	1405 (6)	5.4 (1.8–14.6)	1.3 (0.6–2.6)

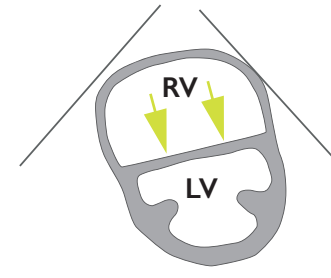
VD / VG > 0,9



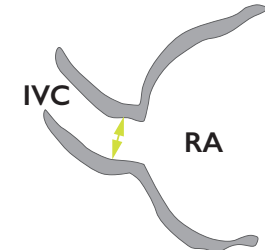
A. Enlarged right ventricle, parasternal long axis view



B. Dilated RV with basal RV/LV ratio > 1.0, and McConnell sign (arrow), four chamber view

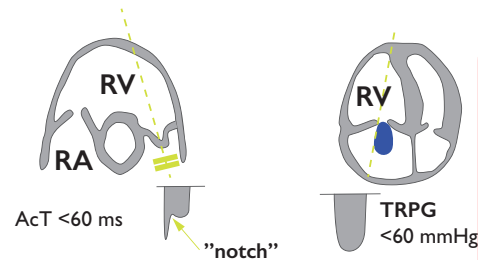


C. Flattened intraventricular septum (arrows) parasternal short axis view

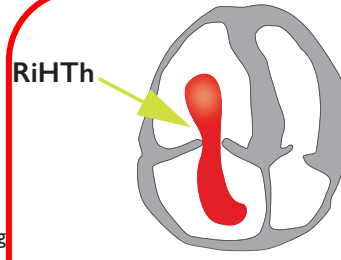


D. Distended inferior vena cava with diminished inspiratory collapsibility, subcostal view

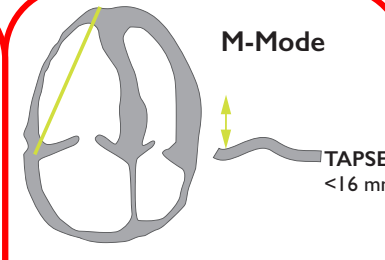
Thrombus IC



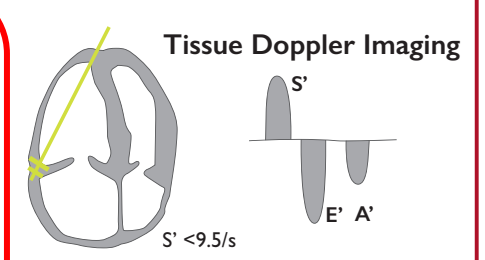
E. 60/60 sign: coexistence of acceleration time of pulmonary ejection < 60 ms and midsystolic "notch" with mildly elevated (< 60 mmHg) peak systolic gradient at the tricuspid valve



F. Right heart mobile thrombus detected in right heart cavities (arrow)

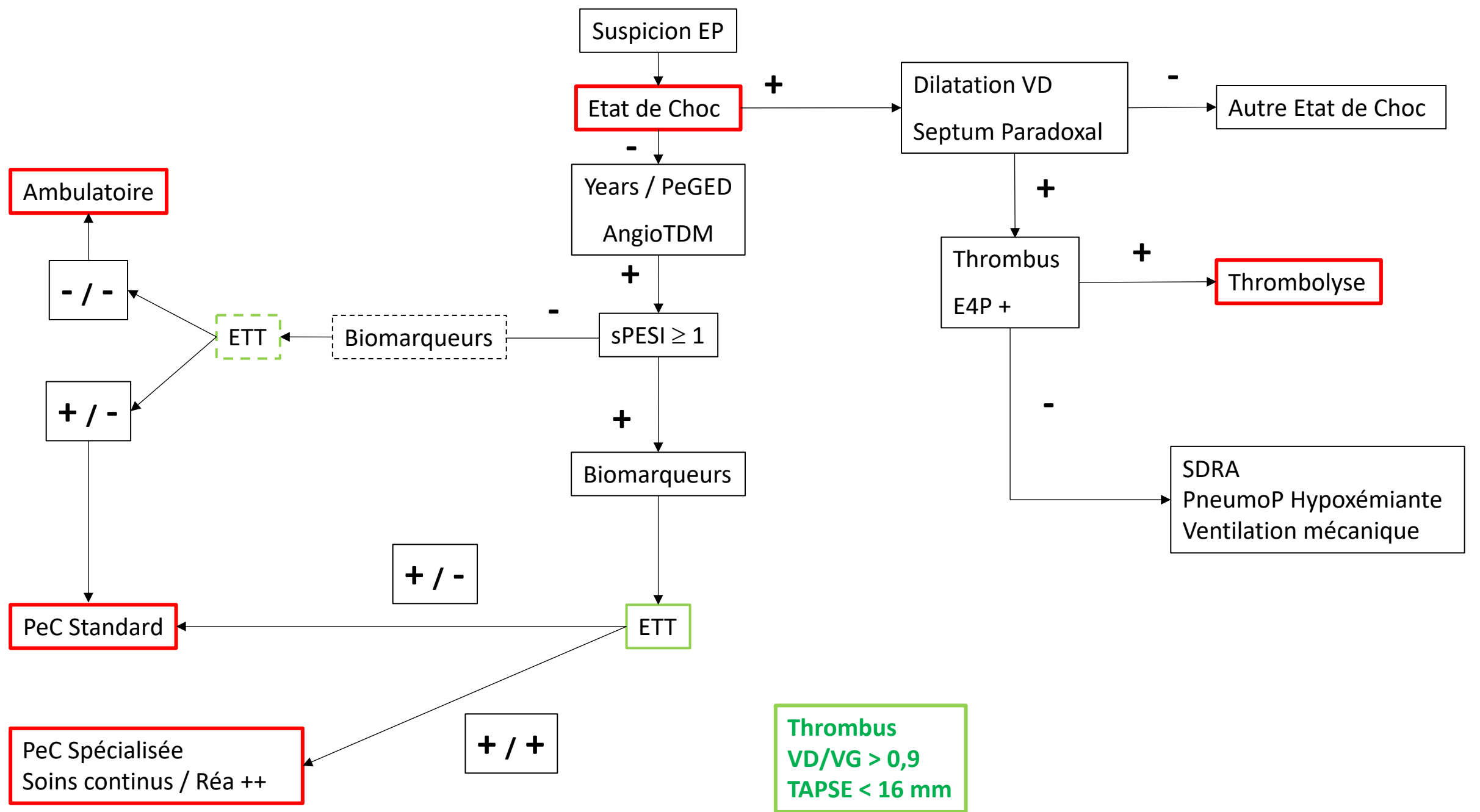


G. Decreased tricuspid annular plane systolic excursion (TAPSE) measured with M-Mode (< 16 mm)



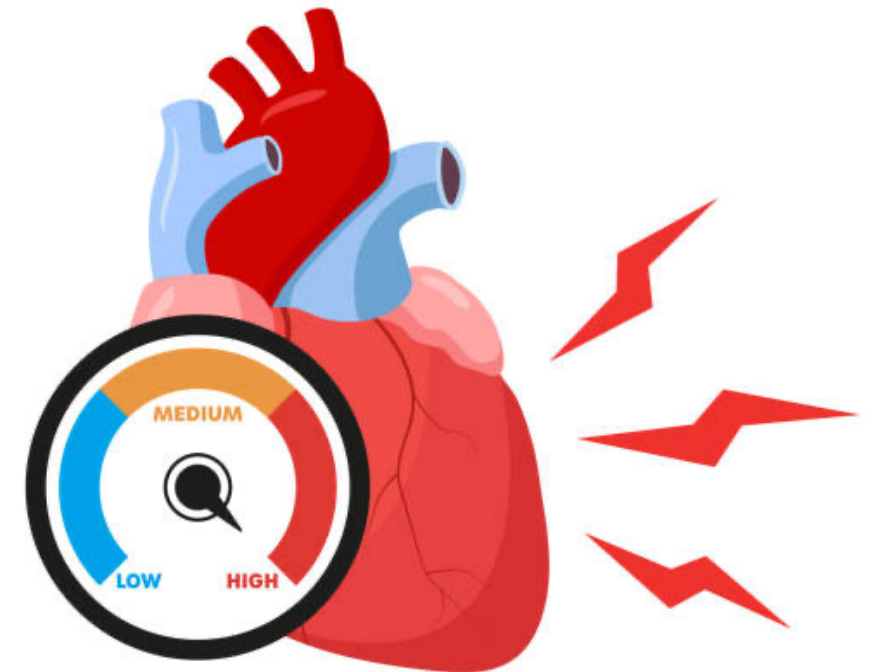
H. Decreased peak systolic (S') velocity of tricuspid annulus (< 9.5 cm/s)

TAPSE < 16 mm



The Forgotten Ventricle

- Dysfonction VD aux urgences peu fréquente mais grave
- Etat de choc et Cœur Pulmonaire Aigu
- Dyspnée et TACC
- Intérêt pronostic majeur dans l'embolie pulmonaire
- Remplissage vasculaire prudent
- Ventilation mécanique à risque



08h45 – 09h00 : Accueil des participants

09h00 – 09h30 : Concept des pressions de remplissage du ventricule gauche

09h30 – 10h30 : Le Ventricule Droit

10h30 – 11h00 : Pause

11h00 – 12h00 : Ateliers pratiques

12h00 – 13h00 : Pause repas

13h00 – 14h00 : Détresse respiratoire

14h00 – 15h00 : Etat de choc

15h00 – 16h00 : Ateliers pratiques

16h00 – 17h00 : Quizz interactif

